

VYSOKÁ ŠKOLA STROJNÍ A TEXTILNÍ V LIBERCI

Katedra obrábění a ekonomiky

461 17 Liberec, Hálkova 6

tel. : 25441-5

---

HABILITAČNÍ PRÁCE

Ing. Vladimír VĚCHET, CSc.

STATISTICKÁ ANALYZA SERIÉZENÍ OBRÁBĚCÍCH STROJŮ

Liberec , leden 1978

## ANOTACE

Zpráva : Habilitační práce

Vypracoval : Ing. Vladimír Věchet, CSc.

Pracoviště : VŠST-KOE, Hálkova 6, 461 17 Liberec 1

DT : 621.753.1 : 330.411

### STATISTICKÁ ANALYZA SEŘÍZENÍ OBRÁBĚCÍCH STROJŮ

Práce se zabývá statistickou analyzou seřízení výrobních zařízení při výrobě ve větších dávkách. Je zavedena tzv. zásoba přesnosti a uvedena statistická analýza úrovně počátečního seřízení a regulování nestacionárních procesů. Pro numerická řešení jsou v práci uvedeny podprogramy pro číslicový počítač zpracované v jazyku FORTRAN IV a dále pak jsou teoretické úvahy dokladovány na příkladech.

#### Měsíc a rok dokončení

zprávy : leden 1978

Počet stran : 101

Počet obrázků : 7

Počet tabulek,  
diagramů apod. : 6

Počet příloh : 3

OBSAH :

	str.
Seznam nejdůležitějších označení .....	4
1. ÚVOD .....	9
2. ZÁKLADNÍ ÚVAHY .....	11
3. ANALÝZA SEŘÍZENÍ .....	16
3.1 Zásoba přesnosti .....	16
3.2 Statistické analýza seřízení .....	25
3.3 Přeserízení s regulace .....	33
3.4 Výběr plánu analyzy .....	36
4. NUMERICKÁ ŘEŠENÍ .....	47
4.1 Integrální funkce rozdělení .....	47
4.2 Test náhodnosti .....	59
4.3 Neparametrický test shody .....	63
4.4 Řešení ostatních úloh .....	75
5. PŘÍKLADY .....	80
6. ZÁVĚR .....	95
Literatura .....	99
Přílohy I-III	

Seznam nejdůležitějších označení

$Df = \sigma^2$  ..... rozptyl veličiny  $f$

$E$  ..... náhodný (fyzikální) experiment

$f(x), g(x), h(x)$  ..... frekvenční funkce rozdělní pravděpodobnosti

$f_f(\mu)$  ..... frekvenční funkce a priorního rozdělení pravděpodobnosti  $\mu$ , filtrovaného operativní charakteristikou  $w(\mu)$

$F(x)$  ..... integrální (distribuční) funkce rozdělení pravděpodobnosti

$F_v(x, k)$  ..... integrální funkce rozdělení pro vyloučení odchýlených normálních pozorování

$F_{\chi^2}(x, k)$  ..... integrální funkce  $\chi^2$ -rozdělení s  $k$  stupni volnosti

$\inf$  ..... infimum ( $\inf R = \min R$ )

$\mathcal{Y}_T$  ..... toleranční pole

$\mathcal{Y}_\gamma$  ..... interval zásoby přesnosti pro podíl  $\gamma$

$\mathcal{Y}_{\gamma\beta}$  ..... interval přípustných změn,  $\bar{x}$  pro dané  $\gamma$  a  $\beta$

$K_\xi(t_i, t_j)$  ..... autokorelační funkce

$\ell$  ..... polovina absolutní velikosti změny  
 $\mu(t)$  pro  $t \in (0,1)$

$t_1, t_2$  ..... spodní (horní) hranice rovnoměrného  
rozdělení pravděpodobnosti

$m_i$  ..... i-té možné řešení

$n$  ..... rozsah náhodného výběru

$\bar{n}$  ..... průměrný počet měření na jedno správné  
seřízení

$N(\mu, \sigma^2)$  ..... symbol Gaussova-Laplaceova (normálního) rozdělení s parametry  $\mu$  a  $\sigma^2$

$P$  ..... pravděpodobnost

$q$  ..... pomocná proměnná (podíl  $\delta$  ku  $\sigma$ )

$R$  ..... množina reálných čísel

$s^2$  ..... statistický odhad rozptylu

$sgn x$  ..... signum  $x$  (znaménko  $x$ )

$\sup$  ..... supremum ( $\sup R = \max R$ )

$S_y$  ..... střed intervalu  $y$

$t$  ..... čas

$T$  ..... obecná statistika

$u_{\alpha}$  .....  $\alpha$ -kvantil rozdělení  $N(0,1)$

$W(m_i/\Omega)$  ..... operativní charakteristika pro  
možné řešení  $m_i$

$W(\mu)$  ..... operativní charakteristika seři-  
zování

$\bar{W}$  ..... střední hodnota  $W(\mu)$  na  $y_r$

$x_i$  ..... i-tý náhodný výběr

$\bar{x}$  ..... aritmetický průměr

$z_f$  ..... koeficient zásoby přesnosti pro  
daný podíl  $f$

$\alpha$  ..... hledina významnosti testů

$\beta$  ..... pravděpodobnost pokrytí podílu  $f$

$\delta$  ..... podíl základního souboru

$\Gamma(x)$  ..... Eulerova funkce 2.druhu

$\delta$  ..... polovina absolutní velikosti  $y_T$

$\Delta$  ..... poloha středu  $y_T$

$\gamma$  ..... diskrétní náhodné veličina

$\Theta$  ..... obecný parametr rozdělení

$\lambda$  ..... poměr poloviny absolutní velikosti změny  $\mu(t)$  ku okamžité směrodatné odchylce

$\lambda_r$  ..... regulovaná hodnota  $\lambda$

$\mu = \bar{\xi} \xi$  ..... střední hodnota náhodné veličiny  $\xi$

$\mu(t) = \bar{\xi} \xi(t)$  ..... střední hodnota náhodné funkce  $\xi(t)$

$\xi = \xi(\omega)$  ..... náhodná veličina (spojitá)

$\xi(t) = \xi(t, \omega)$  ..... náhodná funkce

$\xi_j(t)$  ..... realizace náhodné funkce

$\sigma^2$  ..... rozptyl veličiny  $\xi$

$\sigma^2(t)$  ..... rozptyl  $\xi(t)$

$\gamma$  ..... pomocná proměnná  $[\gamma = (1 + \lambda^2/3)^{0,5}]$

$\gamma_r$  ..... regulované hodnota  $\gamma$

$\phi'(x) = \frac{1}{\sqrt{2\pi}} e^{-\frac{x^2}{2}}$  ..... Gaussova funkce

$\phi(x) = \int_{-\infty}^x \phi'(w) dw$  ..... integrální funkce Gaussova-Laplaceova rozdělení

$\Phi_\infty(x) = 1 - \phi(x)$  ..... doplněk k  $\phi_\infty(x)$

$\Phi(x) = \int_0^x \phi(w) dw$  ..... Laplaceova funkce

$\omega$  ..... elementární jev

$\Omega$  ..... objektivní podmínka

$E$  ..... espérance (matematická naděje,  
střední hodnota)

## 1. ÚVOD

Lidstvo hledí vždy s úctou a nadšením k podivuhodným výtvarům i vysoké myšlenkové úrovni předcházejících generací. Vždyť již staří Egypťané kolem r. 3000 před naším letopočtem rozdělili den i noc na hodiny, každému je známé, jak vysokého rozkvětu dosáhla antická věda. Jsme nadšeni podivuhodnými výsledky architektury Římského impéria, ale jsme i právem hrdi na práci talentovaných českých skléřů. O to více si ceníme práce našich součastníků, kteří otevřeli brány mikrosvěta i kosmického prostoru, dokázali využít atomové i termonukleární energie, zkonstruovali počítačí stroje atd. To vše chépéno v historii bylo možné uskutečnit jen díky vysoké úrovni i jakosti práce. A také každý, kdo jakostně pracuje, ctí i jakostní práci jiných.

Současnou etapu rozvoje techniky charakterizuje vytváření velkých technických systémů, kdy jakost jednotlivých prvků má rozhodující vliv na efektivnost práce celých systémů. Není těžké si představit, jak vysokou spolehlivost musí mít např. prvky kosmických lodí. Moderní technika všeobecně exrtémně zvyšuje požadavky na jakost, neboť porucha byt i jediného prvku by mohla přivodit poruchu celého komplexu techniky.

Jistě neméně významné jsou i ekonomické aspekty jakosti. Problém jakosti se v současné době stal klíčovým prvkem efektivnosti státních ekonomik. "Ideologie jakosti" definitivně zvítězila nad tzv. "turovou ideologií". Všemožné zlepšení jakosti produkce se jeví s současně době jako jeden z nejdůležitějších úkolů, na jehož vyřešení do značné míry závisí i zvýšení efektivnosti společenské výroby.

Je možné spočítat, kolik vysoce kvalifikovaných pracovníků by mohlo být uvolněno z opravárenské sféry do sféry výrobní, kdyby se jen o málo zvýšila spolehlivost našich výrobků. Ne nedarmo je naše VI. pětiletka nazývána pětiletkou efektivnosti a kvality (rozuměj jakosti). V podmírkách vědecko-technického rozvoje problémy jakosti můžou nemizet, ani se nezmenšují, ale nabývají naopak stále na významu a složitosti.

Pro zvyšování jakosti je třeba vytvořit příznivé ekonomické ovzduší v oblasti cen, finanční politiky, devizového hospodářství atd. Odstranit příčiny, které brzdí zvyšování jakosti je ovšem málo. Je třeba hledat a nalézat nástroje, které působí aktivně na zvyšování jakosti. Dnes je ctižádostí mnoha národních dosáhnout v jakosti vysoký národní standard a to musí být i naší ctižádostí.

Ve své práci se dále zabývám pouze jednou z mnoha statistických metod kontroly jakosti ve strojírenských podnicích, v jejímž principu je prevence, předcházení možností vzniku vadných výrobků při obrábění velkých sérií součástí zpravidla na automatických obráběcích strojích.

## 2. ZÁKLADNÍ ÚVAHY

Počátky praktického využívání statistických metod se zpravidla kladou do období II.světové války, kdy odchodem kvalifikovaných pracovníků na frontu byl citelně znát jejich nedostatek ve výrobě. Nebylo již možné provéď např. 100% kontroly vyrobených součástí a vzniklá situace si vynutila využití metod statistické přejímky. Na první pohled by se mohlo zdít, že pouze nedostatek pracovních sil si vynutil aplikaci statistických metod v průmyslových podnicích. Ovšem nejzávažnější důvody neustále širšího uplatňování teorie pravděpodobnosti a matematické statistiky v průmyslové praxi jsou jiného rázu, je třeba je hledat v samotné podstatě technologických procesů. To lze dokumentovat následujícím příkladem.

Obrobení součásti na výrobním stroji si lze představit jako náhodný (fyzikální) experiment  $E$ . Soubor stálých podmínek experimentu  $E$  je dán tím, že se obrábí ne jednom jistém stroji, ječním nástrojem, v jednom přípravku, za stejných řezných podmínek atd. Soubor proměnných podmínek experimentu  $E$  je dán např. nehomogenitou obráběného materiálu, chybami reálných mechanizmů stroje, kolísáním teploty a složení chladící kapaliny atd. Každý výsledek experimentu  $E$  je elementárním jevem  $\omega$ , tedy za elementární jev považujeme každou obrobenou součest. Tím, že výsledek náhodného experimentu není jednoznačný, budou se obrobené součásti jako možné výsledky experimentu  $E$  od sebe kvalitativně lišit. Změříme-li na obrobené součásti jednorázově určitý rozměr, přiřadíme tím každému elementárnímu jevu  $\omega$  jistou číselnou veličinu  $f(\omega) = \xi$ , která je náhodnou veličinou. Měříme-li rozměry zdánlivě za

stejných podmínek vyrobených součástí, snadno se můžeme přesvědčit o tom, že rozměry obroběných součástí se budou od sebe lišit. Vše lze jednodušeji říci i tak, že nedokážeme součásti vyrobit absolutně přesně, že při výrobě vznikají vždy chyby, které ve své podstatě jsou něhodnými veličinami. Ale ani měřit nedokážeme absolutně přesně, i při měření vznikají vždy něhodné chyby a i tuto skutečnost musíme při vyhodnocování výsledků měření brát v úvahu. Podotýkám, že ve všech dále sledovaných úvahách mám na mysli spojité něhodné veličiny, které mohou nabýt jekékoliv (reálné číselné) hodnoty z daného intervalu hodnot.

Již na prosté opakování experimentu  $E$  lze nahlížet jako na něhodný proces. Obecně libovolný měnící se systém podmínek experimentu, tzv. systém elementárních chyb představuje něhodný proces. Ve všech dále zmíněných případech probíhají změny s časem  $t$ , který zde vystupuje jako parametr probíhající množinu  $R$  reálných čísel z nějakého intervalu reálné osy. Je tedy miněna nějaké něhodné funkce  $\xi(t, \omega)$ , která pro každé pevné  $t = t_i$  přejde v obyčejnou něhodnou veličinu  $\xi(t_i, \omega) = \xi(t_i)$  a pro každé pevné  $\omega = \omega_j$  bude  $\xi(t, \omega) = \xi_j(t)$  funkci  $t$  nazývá se realizací.

Dále jsou sledovány takové procesy  $\xi(t)$ , kde střední hodnota

$$\xi(t) = \mu(t), \quad (2.1)$$

je obecně funkci času a autokorelační funkci lze psát ve tvaru

$$\left. \begin{aligned} K_{\xi}(t_i, t_j) &= \sigma^2(t) & , \quad t_i = t_j , \\ K_{\xi}(t_i, t_j) &= 0 & , \quad t_i \neq t_j , \end{aligned} \right\} \quad (2.2)$$

kde symbolem  $\delta^2$  je zde i dále značen rozptyl.

V podstatě stejná hypotéza, snad jen matematicky jinak formulováná, tvořila základ práce jednoho z tvůrců první ucelené teorie přesnosti výroby akad. Borodačeva (viz /3/), prakticky byla mnohokrát ověřena a rozvinuta v novějších pracích (viz např. /19/). Dále uváděné úvahy předpokládají předcházející analýzu daného procesu a jsou děvno známy metody, jak uvedenou hypotézu ověřit.

U náhodných procesů mluvíme i o tzv. ergodicitě. Je-li stacionérní náhodný proces ergodický, můžeme všechny jeho charakteristiky určit z jedné realizace a pak tedy pro každé  $j$  platí :

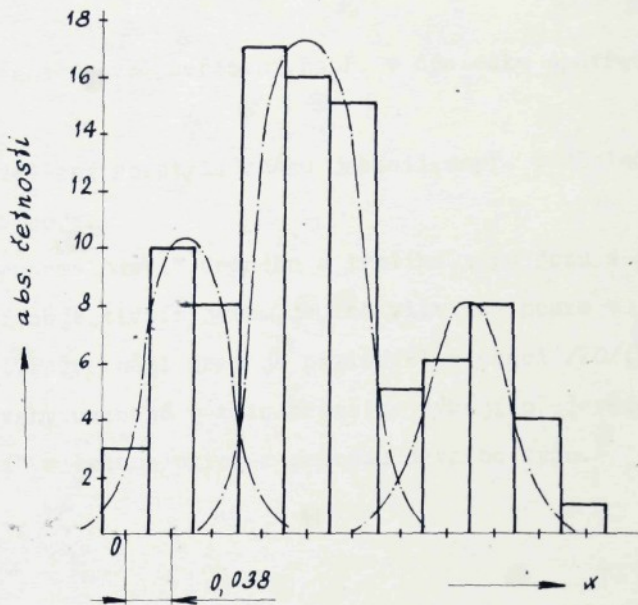
$$\overline{\xi}_j(t) = \lim_{T_k \rightarrow \infty} \frac{1}{T_k} \int_0^{T_k} \xi_j(t) dt = \xi_j(t), \quad (2.3)$$

$$\overline{\sigma}_{\xi_j}(t) = \left\{ \lim_{T_k \rightarrow \infty} \frac{1}{T_k} \int_0^{T_k} [\xi_j(t) - \xi_j(t)]^2 dt \right\}^{0.5} = \sigma_{\xi_j}(t). \quad (2.4)$$

Při praktických podmínkách obrábění součástí ve velkých seriích zpravidla na automatických strojích dochází k porušení podmínky (2.3), proces není ergodický a tím také dochází ke ztrátě přesnosti. Lze to dokumentovat následujícím příkladem.

Na obr. 1 je uveden histogram četnosti odchylek od jmenovitého rozměru u držáku otočného čepu přední nápravy autobusu. Současně je na obrázku vyznačeno i předepsané toleranční pole a je vidět, že značný podíl z celkového počtu náhodně vybraných a proměřených součástí má daný rozměr vně tolerančního pole.

Z obr. 1 je zřejmé, že se jedná o "mechanické smíchání" různých řad součástí vyrobených při nestejném seřízení stroje. Dodatečná analýza ve výrobě toto potvrdila. Čárkovaně je na



obr. 1

obr.1 naznačeno rozdělení pravděpodobnosti sledovaného znaku, z čehož je možné odečítat maximální přesnost dosažitelnou za daných podmínek na daném výrobním zařízení. V důsledku nepřesného seřizování stroje se proces obrábění nerealizuje ergodicky, což ve svých důsledcích vede ke snížení přesnosti výroby.

V obecné rovině pak mluvíme o tzv. "nenormálnostech" v technologickém procesu. Jsou to tedy nežádoucí a mnohdy nepředvídané změny některých elementů technologického procesu, které ve svých důsledcích vedou ke snížení jakosti výroby. "Nenormálnosti" v technologickém procesu lze dělit do tří skupin :

1. chyby při vlastním seřízení, tj. nepřesnosti při nastavení nástroje, chyby v rozdílech nově seřizovaných nástrojů, nedostatečné tuhost upnutí etalonů při seřizování podle etalonů apod.

2. trend úrovně seřízení, např. v důsledku opotřebení nástrojů,

3. zvětšení rozptylu znaku jakosti, např. v důsledku otupení nástroje.

"Nenormálnosti" druhého a třetího typu jsou v procesu obrébení objektivním jevem, jejich vliv lze pouze v jisté míře potlačit. Podrobněji jsem je popisoval v práci /20/. Všechny další úvahy uvedené v této práci se týkají především "nenormálností" v technologickém procesu prvního typu.

### 3. ANALYZA SEŘÍZENÍ

#### 3.1 Zásoba přesnosti

Pro jednoduchost nejprve předpokládejme, že náhodný proces  $\xi(t)$  je stabilní (stacionární) a Gaussovský. Pro každé pevné  $t$  bude  $\xi(t)$  náhodnou veličinou s rozdělením Gaussovy-Laplaceovým a výsledné rozdělení (např. na montáži náhodně vybíraných součástí) bude tedy identické -  $N(\mu, \sigma^2)$ . Parametr  $\sigma^2$  je dán a priori a můžeme říci, že je nezávislý na případných malých změnách parametru  $\mu$ . Předepsané toleranční pole je dáno intervalem  $I_T = (\Delta - \delta, \Delta + \delta)$ , kde  $\Delta$  je polovina středu předepsaného tolerančního pole a  $\delta$  je polovina absolutní velikosti předepsaného tolerančního pole.

Hledejme pak takový interval  $J_f$  možné změny  $\mu$ , aby do pevného intervalu  $I_T$  padl podíl alespoň  $f$  základního (zde Gaussova-Laplaceova) souboru :

$$\Phi_{-\infty}\left(\frac{\Delta-\mu}{\sigma} + \frac{\delta}{\sigma}\right) - \Phi_{-\infty}\left(\frac{\Delta-\mu}{\sigma} - \frac{\delta}{\sigma}\right) \geq f. \quad (3.1)$$

Symbolem  $\Phi_{-\infty}$  je označena integrální funkce Gaussova-Laplaceova rozdělení, tedy

$$\Phi_{-\infty}(x) = \int_{-\infty}^x \frac{1}{\sqrt{2\pi}} e^{-\frac{w^2}{2}} dw. \quad (3.2)$$

Hledáme taková  $\mu$ , pro která je splněna nerovnost (3.1). Označme

$$\frac{\Delta - \delta u}{\sigma} = v \quad , \quad (3.3)$$

$$\frac{\delta}{\sigma} = q \quad , \quad (3.4)$$

$$\varphi(v) = \Phi_{-\infty}(v+q) - \Phi_{-\infty}(v-q) , \quad (3.5)$$

přičemž samozřejmě  $\theta < f < 1$ ,  $q > 0$ .

Kořeny rovnice

$$\varphi(v) = f \quad (3.6)$$

mohou být až dva, označme je jako  $v_+$  a  $v_-$ , přičemž  $v_+$  je kladný a  $v_-$  záporný kořen rovnice (3.6). Snadno lze ukázat, že  $\varphi(v)$  je funkce sudé, má maximum v bodě  $v=\theta$  a v nevlastních bodech je rovna nule. Proto také

$$v_+ = -v_- . \quad (3.7)$$

To znamená, že

$$v_- < \frac{\Delta - \delta u}{\sigma} < v_+ \quad (3.8)$$

a hledaný interval  $J_f$  bude dán identitou

$$J_f = (\Delta - \delta v_+, \Delta + \delta v_+) . \quad (3.9)$$

Právě tento interval  $J_f$  reprezentuje zásobu přesnosti sledovaného procesu. Je pochopitelné, že pro

$$q \leq u_{(1+f)/2} \quad , \quad (3.10)$$

kde  $u_{(1+\gamma)/2}$  je  $(1+\gamma)/2$ -kvántil rozdělení Gaussova-Laplaceova  $N(\theta, 1)$  zásoba přesnosti neexistuje, neboť pro

$$q = u_{(1+\gamma)/2} \quad (3.11)$$

je kořen rovnice (3.6) roven nule a pro

$$q < u_{(1+\gamma)/2} \quad (3.12)$$

kořeny neexistují.

Uvažujme nyní, že výsledné rozdělení bude odlišné od Gaussova-Laplaceova, ostatní podmínky zůstanou stejné. Označme integrální funkci výsledného normovaného rozdělení  $F$ . U výrobních chyb je rozdělení definováno na intervalu  $(-\infty, \infty)$ , přičemž

$$\lim_{x \rightarrow -\infty} F(x) = 0, \quad \lim_{x \rightarrow \infty} F(x) = 1. \quad (3.13)$$

Analogicky vztahu (3.1) lze psát

$$F\left(\frac{\Delta - \mu}{\sigma} + \frac{\delta}{\sigma}\right) - F\left(\frac{\Delta - \mu}{\sigma} - \frac{\delta}{\sigma}\right) \geq \gamma, \quad (3.14)$$

čímž se dostáváme k řešení rovnice

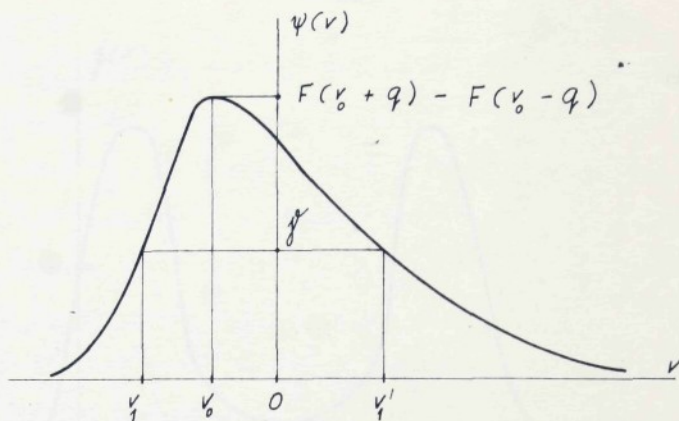
$$\psi(v) = F(v+q) - F(v-q). \quad (3.15)$$

Je jasné, že

$$\lim_{v \rightarrow -\infty} \psi(v) = \lim_{v \rightarrow \infty} \psi(v) = 0 \quad (3.16)$$

a pro  $q > 0$  bude

$$0 < \psi(v) < 1. \quad (3.17)$$



obr. 2

Pak je-li frekvenční funkce rozdělení pravděpodobnosti  $f(x)$ , kde

$$f(x) = \frac{d}{dx} F(x) , \quad (3.18)$$

jednovrcholová, pak i  $\psi(v)$  bude jednovrcholová s maximem v bodě  $v = v_0$ , který je kořenem rovnice

$$f(v + q) - f(v - q) = 0 . \quad (3.19)$$

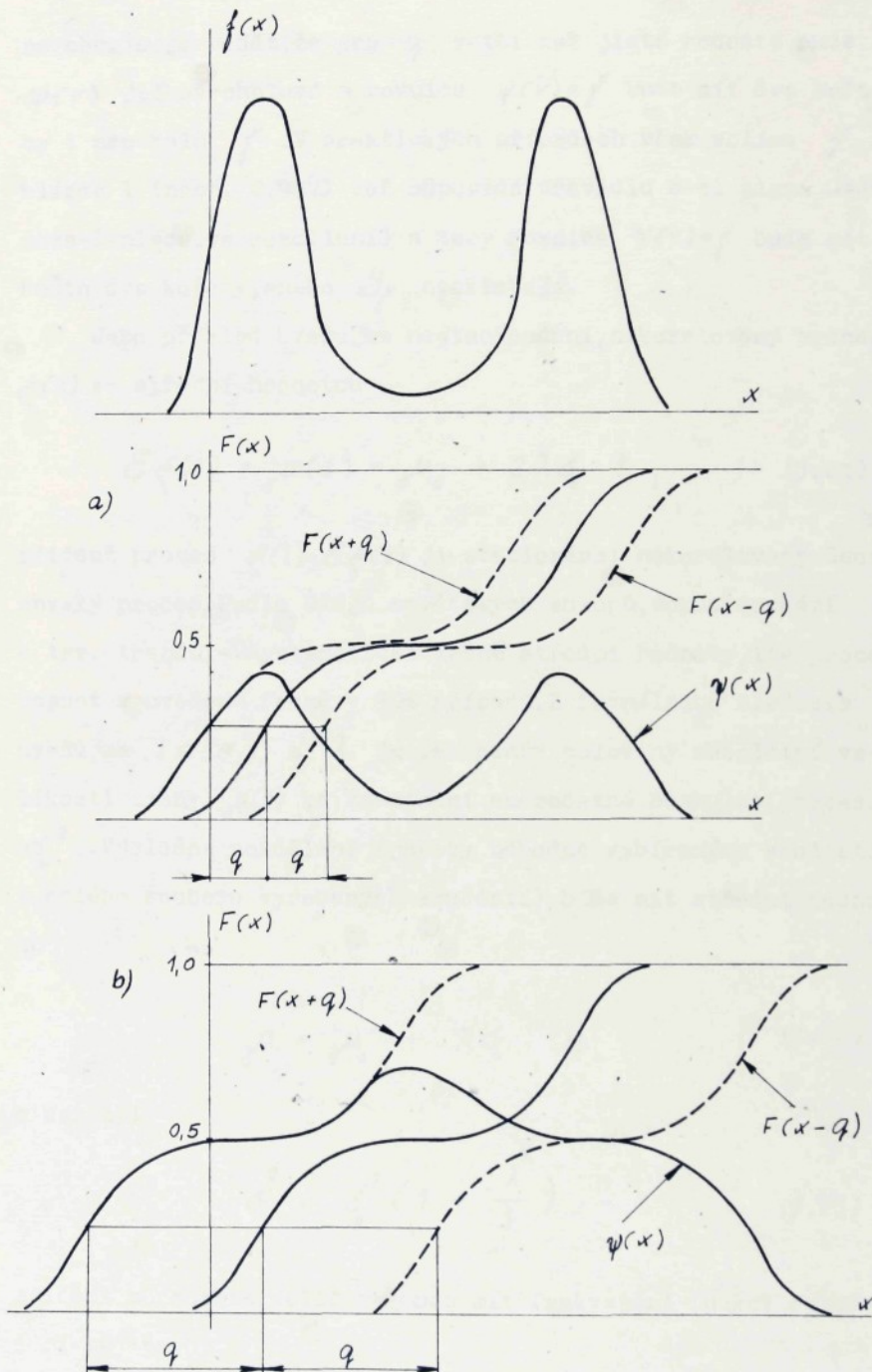
Jak vyplývá již z obr. 2, bude interval

$$\mathcal{Y}_\psi \equiv (\Delta - \sigma v_0, \Delta + \sigma v_0) \quad (3.20)$$

representovat v daném případě zésotu přesnosti pro daný podíl  $\gamma$  základního souboru.

Ve speciálních případech může být  $f(x)$  vícevrcholová.

Pak i  $\psi(v)$  může být vícevrcholová a rovnice  $\psi(v) = \gamma$  může mít více kořenů než dva. Na obr. 3 je dvoumodální rozdělení  $f(x)$ . Je vidět, že pro dostatečně malé  $q$ , ale i  $\gamma$  má rovnice  $\psi(v) = \gamma$  4 kořeny (např. na obr. 3a pro  $\gamma \approx 0,4$ ). Ale již



obr. 3

na obr. 3b je vidět, že pro  $\varphi$  větší než jistá hodnota bude  $\psi(v)$  jednovrcholová a rovnice  $\psi(v) = \varphi$  bude mít dva kořeny i pro malé  $\varphi$ . V praktických případech však volíme  $\varphi$  blízké 1 (např. 0,9973 což odpovídá pravidlu 6-ti sigma Gaussova-Laplaceova rozdělení) a tedy rovnice  $\psi(v) = \varphi$  bude mít buďto dva kořeny, anebo  $\psi$  neexistuje.

Jako příklad uvažujme nestacionární, nekorelovaný proces  $\xi(t)$  se střední hodnotou

$$\mathbb{E}\xi(t) = \mu(t) = \mu_0 + 2\lambda\sigma_0 \cdot t, \quad (3.21)$$

přičemž proces  $\xi(t) - \mathbb{E}\xi(t)$  je stacionérní nekorelovaný Gaussovský proces. Podle údajů sovětských autorů, pokud dochází k tzv. trendu - systematické změně střední hodnoty, lze proces popsat v uvedené formě v 90% případů. Z formálního hlediska uvažujme  $t \in (0, 1)$  a  $\lambda$  je pak poměr poloviny absolutní velikosti změny  $\mu(t)$  ke konstantní směrodatné odchylce procesu  $\sigma_0^2$ . Výsledné rozdělení (jakoby náhodně vybíraných součástí z celého souboru vyrobených součástí) bude mít střední hodnotu

$$\mu = \mu_0 + \lambda\sigma_0 \quad (3.22)$$

a rozptyl

$$\sigma^2 = \sigma_0^2 \left(1 + \frac{\lambda^2}{3}\right), \quad (3.23)$$

přičemž normovaná veličina bude mít frekvenční funkci rozdělení ve tvaru

$$f(x) = \frac{\gamma}{2\lambda} \left[ \Phi(\gamma x + \lambda) - \Phi(\gamma x - \lambda) \right] \quad (3.24)$$

a integrální funkci ve tvaru

$$F(x) = \frac{1}{2\lambda} \left[ (\gamma_x + \lambda) \phi_{-\infty}(\gamma_x + \lambda) - (\gamma_x - \lambda) \phi_{-\infty}(\gamma_x - \lambda) + \phi'(\gamma_x + \lambda) + \phi'(\gamma_x - \lambda) \right]. \quad (3.25)$$

Odvození jsem uváděl v práci /20/. Přitom

$$\gamma = \left( 1 + \frac{1}{3} \right)^{0.5} \quad (3.26)$$

a  $\phi'$  je symbol Gaussovy funkce :

$$\phi'(x) = \frac{1}{\sqrt{2\pi}} e^{-\frac{x^2}{2}}. \quad (3.27)$$

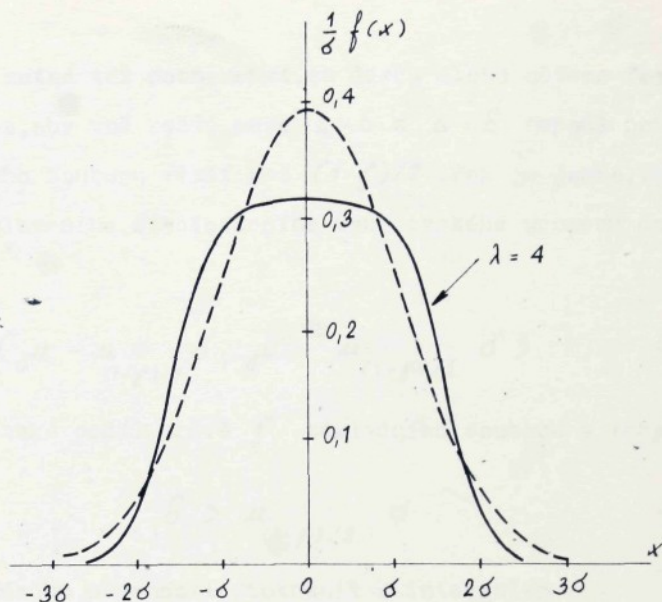
Snadno lze ukázat, že

$$f(-x) = f(x) \quad (3.28)$$

a tedy

$$F(x) = 1 - F(-x). \quad (3.29)$$

Pak i funkce  $\psi(v) = F(v+q) - F(v-q)$  je sudá s maximem v bode nula. Na obr. 4 je schematicky nakreslena  $f(x)$  podle vztahu (3.24) a pro porovnání čárkované frekvenční funkce normovaného rozdělení Gaussova-Laplaceova. Při  $\lambda \rightarrow \infty$  přejde sledované rozdělení v rovnoměrné.



obr. 4

Pokud

$$\gamma > F(q) - F(-q) = 2F(q) - 1, \quad (3.30)$$

má rovnice  $\psi(v) = \gamma$  dva kořeny  $v_-$  a  $v_+$  ( $v_- < v_+$ ) a z toho plyne, že

$$\Delta - \sigma v_+ = \Delta - \gamma \sigma_v v_+ < \mu = \mu_0 + \lambda \sigma_v <$$

$$< \Delta + \sigma v_+ = \Delta + \gamma \sigma_v v_+ \quad (3.31)$$

a zásoba přesnosti je dána intervalom

$$Y_\gamma \equiv (\Delta - \sigma_v [\gamma v_+ + \lambda], \Delta + \sigma_v [\gamma v_+ - \lambda]) \quad (3.32)$$

a reprezentuje pro daný podíl alespoň  $\gamma$  základního souboru přípustné změny  $\mu_0$ , které v našem smyslu udává počáteční úroveň seřízení.

Je nutné též poznámenat, že danou úlohu můžeme formuloval i tak, aby vně každé meze  $\Delta - \delta$  a  $\Delta + \delta$  nepadl podíl základního souboru větší než  $(1-\gamma)/2$ . Pak je jasné, že např. u nekorelovaného, stacionérního Gaussovského procesu do intervalu

$$(y\mu - \mu_{(1-\gamma)/2} \cdot \sigma, y\mu + \mu_{(1-\gamma)/2} \cdot \sigma) \quad (3.33)$$

"padne" také podíl pravé  $\gamma$  základního souboru a tedy když

$$\delta > \mu_{(1-\gamma)/2} \cdot \sigma \quad (3.34)$$

můžeme zásobu přesnosti ztotožnit s intervalém

$$y^1 = (\Delta - \delta + \mu_{(1-\gamma)/2} \cdot \sigma, \Delta + \delta - \mu_{(1-\gamma)/2} \cdot \sigma). \quad (3.35)$$

V praktické rovině není třeba obě tyto formulace rozlišovat, neboť s malými úpravami  $\gamma$  se stávají ekvivalentními.

Zavádím ještě koeficient zásoby přesnosti  $z_\gamma$  jako poměr šířky intervalu  $y_\gamma$  ku šířce tolerančního pole :

$$z_\gamma = \frac{\sup y_\gamma - \inf y_\gamma}{2\delta}, \quad (3.36)$$

( $0 < z_\gamma < 1$ ), takže např. pro stacionérní, nekorelovaný Gaussovský proces bude

$$z_\gamma = \frac{1/4 \sigma}{\delta}. \quad (3.37)$$

Realizace, např. odchylinky v rozměrech obroběných součástí, jsou vždy "rozptýleny" kolem střední hodnoty, tedy  $\xi(\theta)$

v sobě ztělesňuje úroveň, hladinu seřízení daného procesu. V jednotlivých realizacích celého procesu bude úroveň seřízení různá (porušení ergodicity) a pak je otázkou, jaké kolísání úrovně seřízení je přípustné, aniž by byly narušeny požadavky na jakost, formulované v tomto případě ".....podílem alespoň  $\gamma$  základního souboru v toleranci". Odpověď na tuto otázku je zavedení intervalu přípustných změn úrovně seřízení, tedy zásoby přesnosti.

### 3.2 Statistická analýza seřízení

Jak vyplývá z předcházející kapitoly, tak úroveň seřízení hodnotíme velikostí  $\mu$  resp.  $\mu_0$ . Řekneme např., že stroj je seřízen správně, když  $\mu$  resp.  $\mu_0 \in \mathcal{Y}$ . Je jasné, že např. rozměrové nestavení řezného nástroje není identické s úrovní seřízení representované střední hodnotou, neboť na úroveň seřízení mají vliv další chyby ze souboru elementárních chyb, hlavně deformace soustavy stroj-obrobek-nástroj-(přípravek). Prakticky se tedy o správnosti seřízení můžeme rozhodnout na základě výsledků měření prvních  $n$  obroběných součástí. Přitom nemůžeme určit hodnotu  $\mu$ , ale jen její statistický odhad. V delším počítém pouze s nejlepším odhadem  $\mu$  - statistikou  $\bar{x}$  (aritmetický průměr).

V obecné rovině můžeme celý problém formulovat následovně. Nechť nějaká veličina  $x$  má rozdělení s frekvenční funkcí  $f(x, \Theta)$ , kde  $\Theta$  je nějaký parametr (v našem případě je to  $\mu$ ). Máme pak systém základních souborů, z nichž každý má rozdělení s  $f(x, \Theta)$  a kde parametr  $\Theta$  je obecně pro různé soubory různý.

Je tedy náhodnou veličinou s frekvenční funkcí rozdělení pravděpodobnosti  $h(v)$ .

Náhodný experiment pak provédíme tak, že v první fázi provedeme výběr z rozdělení  $h(v)$  (tedy výběr rozdělení z nějakého systému rozdělení) a ve druhé fázi uděláme výběr z vybraného základního souboru a stanovíme statistiku  $T$ .

Ptáme se pak, jaké je rozdělení veličiny  $\Theta$  podmíněné výsledkem experimentu koncretovaném ve vypočtené hodnotě  $T$ , tedy tzv. aposteriorní rozdělení  $\Theta$  označené  $h(v/T)$ .

Ze zřejmé obdoby Bayesovy formule pro spojité náhodné veličiny můžeme psát :

$$h(v/T) = \frac{g(T/v) h(v)}{\int g(T/v) h(v) dv} , \quad (3.38)$$

kde  $g(T/v)$  je rozdělení veličiny  $T$  a  $h(v)$  je tzv. apriorní rozdělení veličiny  $\Theta$ .

Vráťme-li se zpět k problému hodnocení úrovně seřízení a je-li  $f(x, \Theta)$  rozdělení  $N(\mu, \sigma^2)$ , pak statistikou  $T$  bude v našem případě  $\bar{x}$ , které má rozdělení  $N(\mu, \sigma^2/n)$  a aposteriorní rozdělení  $\mu$  bude

$$h(\mu/\bar{x}) = \frac{\frac{1}{\sqrt{n}} \phi\left(\frac{\bar{x}-\mu}{\sigma} \sqrt{n}\right) h(\mu)}{\int \frac{1}{\sqrt{n}} \phi\left(\frac{\bar{x}-\mu}{\sigma} \sqrt{n}\right) h(\mu) d\mu} . \quad (3.39)$$

Speciálně pro případ, kdy  $h(\mu)$  je rovnoměrné rozdělení na intervalu  $\langle l_1, l_2 \rangle$  bude

$$f(\mu/\bar{x}) = \frac{\frac{1}{\sigma} \phi' \left( \frac{\bar{x} - \mu}{\sigma} \sqrt{n} \right)}{\phi_{-\infty} \left( \frac{l_1 - \bar{x}}{\sigma} \sqrt{n} \right) - \phi_{-\infty} \left( \frac{l_2 - \bar{x}}{\sigma} \sqrt{n} \right)}. \quad (3.40)$$

Aposteriorní rozdělení  $\mu$  je v tomto případě tzv. "useknuté" normální rozdělení  $N(\bar{x}, \sigma^2/n)$  na hranicích  $l_1$  a  $l_2$ .

Těžiště výpočtu spočívá v tom, co víme o apriorním rozdělení  $\mu$ . Formuluji tento problém zprvu slovně, byť z ryze matematického hlediska neúplně přesně. Můžeme totiž říci, že o rozdělení  $\mu$  nám není nic známo, což automaticky je v našem vědomí spojeno s rovnoměrným apriorním rozdělením  $\mu$  na velkém intervalu. Jako bychom uvažovali nejméně příznivý případ, kdy však stačí, aby  $l_1 < \bar{x} - k \frac{\sigma}{\sqrt{n}}$  a  $l_2 > \bar{x} + k \frac{\sigma}{\sqrt{n}}$  (např. pro  $k > 3$ ), takže aposteriorní rozdělení bude velmi přibližně  $N(\bar{x}, \sigma^2/n)$ .

Pak již statistickou analýzu můžeme formulovat přesněji.

Nechť  $x_1, x_2, \dots, x_n$  je něhodný výběr z rozdělení  $N(\mu, \sigma^2)$  (obecněji rozdělení s danou integrální funkcí),  $n$  je přirozené číslo a rozptyl je dán a priori. Dle je dán pevný interval  $\mathcal{Y}_T = (\Delta - \delta, \Delta + \delta)$ . Když známe  $\bar{x}$ , chceme vypočítat takovou pravděpodobnost  $\beta$ , že do pevného intervalu  $\mathcal{Y}_T$  "padne" podíl alespoň  $j$  základního souboru :

$$\begin{aligned} \beta &= P \left\{ \phi_{-\infty} \left( \frac{\Delta + \delta - \mu}{\sigma} \right) - \phi_{-\infty} \left( \frac{\Delta - \delta - \mu}{\sigma} \right) \geq j \right\} = \\ &= P \left\{ \phi_{-\infty} \left( \frac{\mu - \Delta}{\sigma} + \frac{\delta}{\sigma} \right) - \phi_{-\infty} \left( \frac{\mu - \Delta}{\sigma} - \frac{\delta}{\sigma} \right) \geq j \right\} = \\ &= P \left\{ \phi_{-\infty} \left( w + \frac{\delta}{\sigma} \right) - \phi_{-\infty} \left( w - \frac{\delta}{\sigma} \right) \geq j \right\}. \end{aligned} \quad (3.41)$$

Když aposteriorní rozdělení  $\mu$  je  $N(\bar{x}, \sigma^2/n)$ , pak veličina  $w$  má rozdělení  $N[(\bar{x} - \Delta)/\sigma, 1/n]$ . Tím vztah (3.41) můžeme přepsat do tvaru

$$\beta = P\{ |w| < v_+ \} , \quad (3.42)$$

kde  $v_+$  je kladný kořen rovnice

$$\Phi_{-\infty}(v+q) - \Phi_{-\infty}(v-q) = \beta , \quad (3.43)$$

kde opět  $q = \delta/\sigma$ . Pak teď

$$\begin{aligned} \beta &= \Phi_{-\infty}\left(\frac{v_+\sigma - \bar{x} + \Delta}{\sigma} \sqrt{n}\right) - \\ &- \Phi_{-\infty}\left(\frac{-v_+\sigma - \bar{x} + \Delta}{\sigma} \sqrt{n}\right) . \end{aligned} \quad (3.44)$$

Je-li naopak  $\beta$  děno, spočítáme z rovnice (3.44) taková  $\bar{x}$ , aby původní předpoklad byl splněn. Označme

$$r = \frac{\bar{x} - \Delta}{\sigma} \sqrt{n} \quad (3.45)$$

a  $r_+$  kladný kořen rovnice

$$\Phi_{-\infty}(r + v_+ \sqrt{n}) - \Phi_{-\infty}(r - v_+ \sqrt{n}) = \beta . \quad (3.46)$$

Takže z toho plyne, že

$$-r_- < \frac{\bar{x} - \Delta}{\sigma} \sqrt{n} < r_+ \quad (3.47)$$

a můžeme říci, že s pravděpodobností  $\beta$  "padne" do  $\frac{y}{T}$  podíl

alespoň  $\gamma$  základního souboru, když

$$\bar{x} \in \gamma_{\beta} = (\Delta - r \frac{\sigma}{\sqrt{n}}, \Delta + r \frac{\sigma}{\sqrt{n}}) \quad (3.48)$$

a úroveň seřízení na základě statistické analyzy považujeme při splnění podmínky (3.48) za vyhovující. Přitom volíme pochopitelně  $r \rightarrow 1$  a  $\beta$  též dostatečně blízko 1.

Neexistují-li dva kořeny rovnice (3.43), chybí zásoba přesnosti a proces nelze realizovat vůbec. To nastane v případě, kdy je splněna podmínka (3.12). Analogicky pokud

$$r_+ < \frac{1}{\sqrt{n}} \quad u_{(1+\beta)/2} \quad (3.49)$$

neexistují dva kořeny rovnice (3.46) a na základě statistické analyzy nelze pro daná  $\gamma$ ,  $\beta$  a  $n$  provést rozhodnutí o správnosti úrovni seřízení, neboť  $n$  je malé. Je tedy třeba zvýšit rozsah výběru.

Uvažujme nyní, že apriorní rozdělení  $\mu$  je  $N(\mu_s, \sigma_s^2)$  při nezměněných ostatních podmírkách. Dokažme, že aposteriorní rozdělení  $\mu$  bude Gaussovo-Laplaceovo s parametry

$$\mathbb{E}(\mu | \bar{x}) = \frac{n \sigma_s^2 \bar{x} + \sigma^2 \mu_s}{n \sigma_s^2 + \sigma^2}, \quad (3.50)$$

$$\sqrt{D(\mu | \bar{x})} = \frac{\sigma_s \cdot \sigma}{\sqrt{n \sigma_s^2 + \sigma^2}} \quad (3.51)$$

Dosazením do vztahu (3.38) dostaváme

$$f(\mu/\bar{x}) = \frac{\phi'(\frac{\bar{x}-\mu}{\sigma} n) \phi'(\frac{\mu-\mu_s}{\sigma_s})}{\int_{-\infty}^{\infty} \phi'(\frac{\bar{x}-\mu}{\sigma} n) \phi'(\frac{\mu-\mu_s}{\sigma_s}) d\mu} \quad (3.52)$$

Jelikož

$$\phi'(\frac{\bar{x}-\mu}{\sigma} n) \phi'(\frac{\mu-\mu_s}{\sigma_s}) = \phi'\left[\frac{\mu - \xi(\mu/\bar{x})}{\sqrt{D(\mu/\bar{x})}}\right], \quad (3.53)$$

bude integrál ve jmenovateli zlomku ve vztahu (3.52) roven 1 a tím dostavéme žádaný výsledek.

Pak veličina  $w$  v rovnici (3.41) bude mít rozdělení s parametry

$$\xi_w = \bar{w} = \frac{1}{\sigma} \left( \frac{n \sigma_s^2 \bar{x} + \sigma^2 \mu_s}{n \sigma_s^2 + \sigma^2} - \Delta \right), \quad (3.54)$$

$$D_w = \sigma_w^2 = \frac{\sigma_s^2}{n \sigma_s^2 + \sigma^2}. \quad (3.55)$$

Tak jako v předešlém případě můžeme psát

$$\begin{aligned} \beta &= \Phi_{-\infty}\left(\frac{\bar{w} + v_t}{\sigma_w}\right) - \Phi_{-\infty}\left(\frac{\bar{w} - v_t}{\sigma_w}\right) = \\ &= \Phi_{-\infty}\left(\bar{r} + \frac{v_t}{\sigma_w}\right) - \Phi_{-\infty}\left(\bar{r} - \frac{v_t}{\sigma_w}\right), \end{aligned} \quad (3.56)$$

kde tedy

$$\bar{r} = \bar{w} / \sigma_w . \quad (3.57)$$

Oznáčíme-li kladný kořen rovnice (3.56) jako  $\bar{r}_+$  lze meze hledaného intervalu  $\underline{y}_{f,B}$  přípustného kolísání  $\bar{x}$  psát ve tvaru

$$\sup \underline{y}_{f,B} = \frac{(\Delta + \sigma \sigma_w \bar{r}_+)(n \sigma_s^2 + \sigma^2) - \sigma^2 \mu_s}{n \sigma_s^2} , \quad (3.58)$$

$$\inf \underline{y}_{f,B} = \frac{(\Delta - \sigma \sigma_w \bar{r}_+)(\Delta \sigma_s^2 + \sigma^2) - \sigma^2 \mu_s}{n \sigma_s^2} , \quad (3.59)$$

neboť opět  $\bar{r}_+ = -\bar{r}$ .  $\sigma_w^2$  je bez rozměru, proto i výsledky vztažů (3.58) a (3.59) jsou v délkových jednotkách.

Uvažujme i případ, kdy stabilní a nekorelovaný je proces  $\xi(t) - E\xi(t)$ . Pak i zde pro  $n$  dostatečně malé lze uvažovat, že  $x_1, x_2, \dots, x_n$  jsou náhodné výběry z rozdělení  $N[E\xi(\theta), D\xi(\theta)]$ . To vyplývá z normality "okamžitého" rozdělení, přitom ovšem požadujeme  $n$  co nejménší. Vztah (3.41) pak budeme psát ve tvaru

$$\beta = P \left\{ F \left( \frac{\Delta - \mu_r}{\sigma_r} + \frac{\delta}{\sigma_r} \right) - F \left( \frac{\Delta - \mu_r}{\sigma_r} - \frac{\delta}{\sigma_r} \right) \geq y^r \right\} , \quad (3.60)$$

kde  $\mu_r$  a  $\sigma_r^2$  jsou střední hodnota a rozptyl výsledného rozdělení pravděpodobnosti. V kap. 3.1 je uveden příklad lineárního trendu /vztah (3.21)/, kdy  $\mu_r$  a  $\sigma_r^2$  je pak děno vztahy (3.22) a (3.23) a  $F$  vztahem (3.25). Pak tedy

$$\beta = P \{ w \in R \} , \quad (3.61)$$

kde  $R$  je množina reálných hodnot  $w$  splňujících nerovnost

$$F(w + \frac{\delta}{\sigma_v}) - F(w - \frac{\delta}{\sigma_v}) \geq \mu, \quad (3.62)$$

ale přitom víme, že rozdelení  $\mu$  je  $N(\bar{x}, \sigma^2/n)$  a tedy rozdelení  $\mu$  je  $N(\bar{x} + \lambda \sigma_v, \sigma^2/n)$ , takže  $w$  je veličina s rozdelením  $N[(\Delta - \bar{x} - \lambda \sigma_v)/\sigma_v, 1/(n + n \lambda^2/3)]$ , kde  $\sigma^2$  je dáno opět vztahem (3.23).

Až dosud se počítalo s podmínkou "  $\sigma^2$  dané a priori". Přísně teoreticky vzato nemůže být tato podmínka splněna nikdy, neboť vždy máme k dispozici více či méně kvělitní odhad  $\sigma^2$  (ve formě  $s^2$ ). Avšak prakticky se takto počítá, byť si to mnohdy ani neuvědomujeme. Speciálně ve sledovaném případě si to dovolit můžeme, neboť při analýze seřízení zpracováváme výběr malého rozsahu, přičemž předcházela analýza procesu jako takového, kdy naopak byl zpracován výběr velkého rozsahu a určeno  $s^2$  s tak malým rozptylem, že je namísto ztotožnění se  $\sigma^2$ . A to ještě navíc ev. vzniklou chybu kompenzujeme apriorním rozdelením  $\mu$ .

Z matematického hlediska nevznikají žádné velké potíže při odvozování ekvivalentních vztahů v případě, kdy místo  $\sigma^2$  pracuje s odhadem  $s^2$ , ale numerické řešení se natolik komplikuje, že přesahuje únosnou mez pro počítač II. generace a přitom v praktické rovině nebudu výsledky rozdílné.

### 3.3 Přeseřízení a regulace

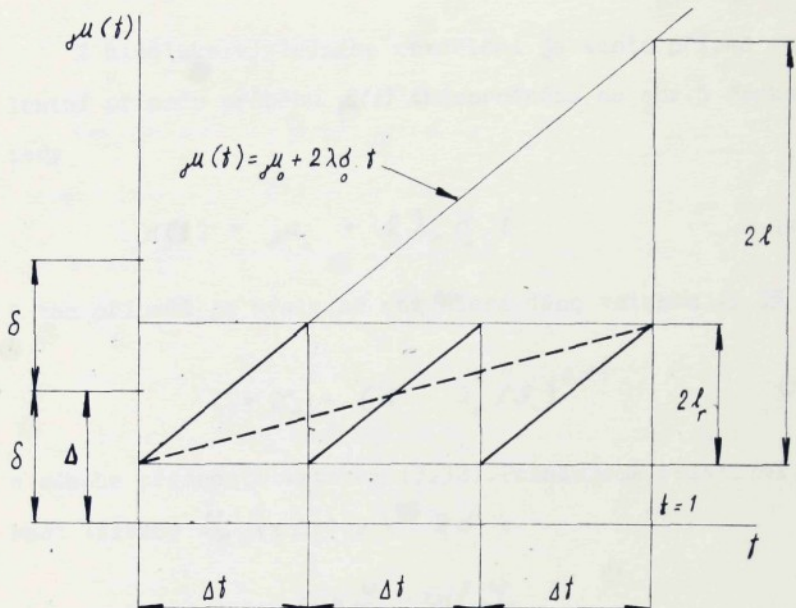
Provádíme-li statistickou analýzu seřízení, těk usoudíme, že stroj je seřízen správně, když  $\bar{x} \in Y_{\beta}$ . Vzniké však otázka, jak postupovat v případě, kdy  $\bar{x} \notin Y_{\beta}$ . Je nutné provést přeseřízení resp. nové seřízení např. přestavením nástroje. V zásadě je to možné provést dvěma způsoby. Provedeme přeseřízení nezávisle na výsledku předcházejícího seřízení a budeme jej opakovat tak dlouho, dokud  $\bar{x} \notin Y_{\beta}$ . Provádíme tedy tzv. nezávislá seřizování, což připadá v praxi nejčastěji v úvahu (hlavně v obrábění).

Logické by však bylo, provést přeseřízení v závislosti na výsledku předcházejícího, tedy o hodnotu  $\Delta - \bar{x}$ . I když ne všude je to technicky možné, tak přesunutí např. řezného nástroje o hodnotu  $\Delta - \bar{x}$  je výhodné. Uvažujme, že provedeme přeseřízení právě o hodnotu  $\Delta - \bar{x}$  (prakticky se dopustíme vždy ještě nějaké chyby-v principu chyby měření, jejíž vliv lze sledovat v souhrnu, neboť se přičítá - na jiném příkladě jsem tento vliv popsal v čas. Strojírenství, 24(1974), č. 6, 363-6).

Jestliže aposteriorní rozdělení  $\mu$  bylo  $N(\bar{x}, \sigma^2/n)$ , tak po přeseřízení bude  $N(\Delta, \sigma^2/n)$ . Hledejme nyní takovou pravděpodobnost  $\beta^*$ , že  $\mu \in Y_{\beta}$ , tedy bude pokryt podíl alespoň  $\gamma$  základního souboru. Snadno určíme, že  $\beta^* > \beta$ , neboť

$$\begin{aligned}\beta^* &= \Phi\left(\frac{\sup Y_{\beta} - \Delta}{\sigma / \sqrt{n}}\right) - \Phi\left(\frac{\inf Y_{\beta} - \Delta}{\sigma / \sqrt{n}}\right) = \\ &= \Phi\left(\frac{\sqrt{n} v_+}{\sigma}\right) - \Phi\left(-\frac{\sqrt{n} v_+}{\sigma}\right) > \beta\end{aligned}\quad (3.63)$$

což plyne v porovnání s (3.46)-počítáno pro případ normality.



obr. 5

Tím je tedy řešení upřesněno do žádoucí úrovně.

Úplně analogický je problém regulace. Uvažujme např. stabilní nekorelovaný proces  $\xi(t) - \bar{\xi}(t)$  s lineárním trendem  $\mu(t)$  (viz obr.5).

Každá "nenormálnost" tohoto druhu, reprezentované v tomto případě lineárním trendem  $\mu(t)$  v důsledku např. nadměrného opotřebování řezného nástroje, zhoršuje výslednou přesnost. Když do obr.5 pomocí  $\Delta$  a  $\delta$  vyznačím předepsané toleranční pole, je na první pohled patrné, že málo platná je jakékoli analýza řešení, neboť mi zcela určitě bude chybět zásoba přesnosti. Požadované přesnosti však mohu dosáhnout tím, že v časových okamžicích  $k \cdot \Delta t$  ( $k = 0, 1, 2, \dots$ ) provedeme řešení resp. přeřešení, tedy regulaci procesu, v jehož výsledku dostaneme teoretický pilový diagram, který je na obr.5 silně vyznačen. Jde pak pouze o to, vypočítat  $\Delta t$ .

Z hlediska výsledného rozdělení je tento případ ekvivalentní případu průběhu  $\mu(t)$  znázorněného na obr. 5 čárkovaně, tedy

$$\mu(t) = \mu_0 + 2\lambda_r \sigma_0 t. \quad (3.64)$$

V tom případě je výsledné rozdělení dáné vztahem (3.25) pro

$$\Sigma = \Sigma_r = (1 + \lambda_r^2/3)^{0.5} \quad (3.65)$$

a zásoba přesnosti vztahem (3.32). Požadujeme relativní velikost (šířku)  $\gamma$  vzhledem k  $2\delta$ :

$$z_r = \frac{\sup \gamma_r - \inf \gamma_r}{2\delta}, \quad (3.66)$$

z čehož

$$\begin{aligned} \Delta + \sigma_0 (\Sigma_r \nu_r - \lambda_r) - \Delta + \sigma_0 (\Sigma_r \nu_r + \lambda_r) &= \\ = 2\delta z_r. \end{aligned} \quad (3.67)$$

S ohledem na vztah (3.65) bude

$$\nu_r = \frac{\delta z_r}{\sigma_0 \sqrt{1 + \lambda_r^2/3}} \quad (3.68)$$

a pak tedy určíme takové  $\lambda_r$ , aby

$$F\left(\frac{\delta z_r + \delta}{\sigma_0 \sqrt{1 + \lambda_r^2/3}}\right) - F\left(\frac{\delta z_r - \delta}{\sigma_0 \sqrt{1 + \lambda_r^2/3}}\right) = f, \quad (3.69)$$

kde  $F$  je opět definováno vztahem (3.25). Z takto vypočteného  $\lambda_r$  plyne  $\Delta t = \lambda_r/\lambda$ . Analogicky postupujeme i v případě jiných průběhů  $\mu(t)$ .

### 3.4 Výběr plánu analýzy

Celý sledovaný problém je do jisté míry analogický statistické přejímce a u úloh tohoto typu se udává tzv. operativní charakteristika. Zcela obecně jsou-li  $m_1, m_2, \dots, m_k$  možná řešení a  $\Omega$  nějaká objektivní podmínka, bude operativní charakteristika pro některé z možných řešení  $m_i$  dána pravděpodobností jevu  $m_i$  za podmínky  $\Omega$ :

$$W(m_i / \Omega) = P\{m_i / \Omega\} \quad (3.70)$$

U statistické přejímky přicházejí v úvahu dvě alternativní řešení  $m_1$  a  $m_2$  (dodávku přijmout nebo odmítnout), přičemž objektivní podmínku tvoří počet vadných kusů v dodávce. Analogicky při analýze seřízení alternativní řešení  $m_1$  znamená, že úroveň seřízení je považována za správnou a  $m_2$  naopak za nevhovující. Úroveň seřízení  $\mu$  je objektivní podmínkou. Operativní charakteristika se pak zpravidla značí jako  $W(\mu)$ :

$$W(\mu) = W(m_1 / \mu) = P\{m_1 / \mu\}. \quad (3.71)$$

Operativní charakteristika  $W(\mu)$  přejímacích plánů tedy udává pravděpodobnost přijetí dodávky, která obsahuje podíl právě  $\mu$  vadných součástí. Pochopitelně  $\mu$  není známé, jinak bychom také statistickou přejímku vůbec nemuseli provádět. Vždy také existuje jistá pravděpodobnost, že dobrou dodávku zamítneme a špatnou přijmemme. Jde jen o to, jak velká tato

pravděpodobnost je.

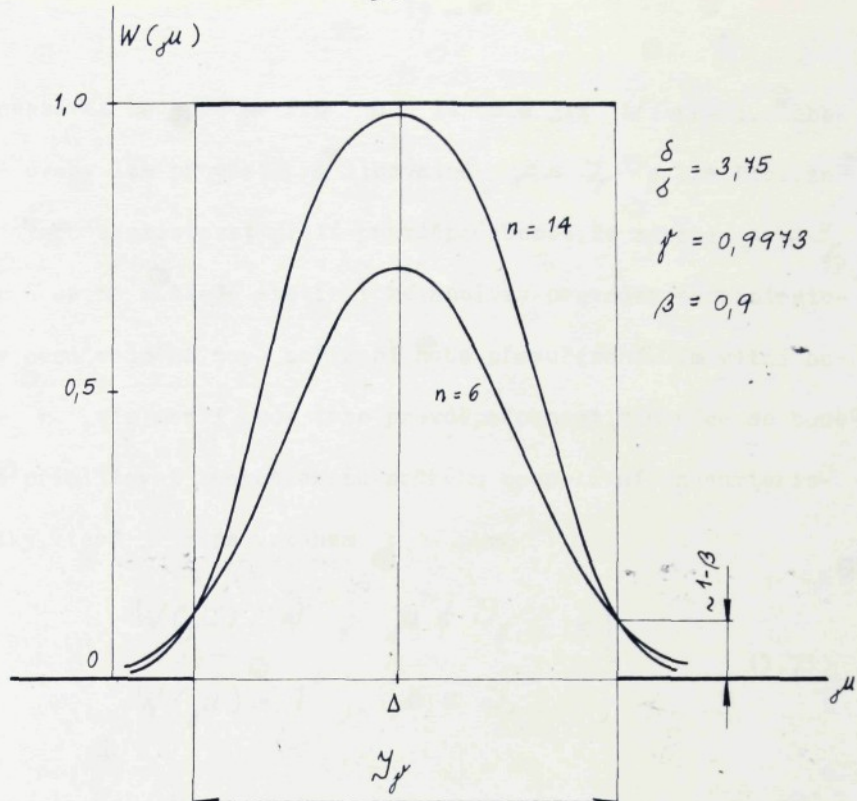
U statistické analyzy seřízení nám operativní charakteristika neudává v podstatě nic jiného než pravděpodobnost, že pro jisté  $\mu$  bude  $\bar{x} \in Y_{\gamma, \beta}$ . I zde však  $\mu$  znémé není. Kdyby totiž  $\mu$  bylo znémé, můžeme o správnosti seřízení rozhodnout bezprostředně a statistická analýza by byla bezpřemětná. Zde je vidět analogie se statistickou přejímkou.

Při počítání s operativní charakteristikou se tedy jedná o jistou abstrakci, ale právě na jejím základě lze učinit řadu významných vývodů. Tak např. pro  $Y_{\gamma, \beta}$  dané vztahem (3.48) bude

$$W(\mu) = \int_{\inf Y_{\gamma, \beta}}^{\sup Y_{\gamma, \beta}} \frac{1}{\sqrt{2\pi}\sigma} e^{-\frac{(v-\mu)^2}{2\sigma^2}} dv = \\ = \Phi\left(\frac{\sup Y_{\gamma, \beta} - \mu}{\sigma \sqrt{n}}\right) - \Phi\left(\frac{\inf Y_{\gamma, \beta} - \mu}{\sigma \sqrt{n}}\right). \quad (3.72)$$

Pro konkrétní hodnoty  $\gamma = \delta/\sigma$ ,  $\beta$  a  $\mu$  jsou dvě operativní charakteristiky nakresleny na obr. 6. Záměrně je voleno  $\gamma$  a  $\beta$  blízké 1 a  $\gamma$  relativně malé. Zásoba přesnosti je vyznačena intervalom  $Y_\gamma$ .

Jestliže  $\mu \in Y_\gamma$ , párne do intervalu  $Y_\gamma$  podíl alespoň  $\beta$  základního souboru a seřízení bude tedy správné. O správnosti seřízení se však přesvědčujeme podle toho, zda  $\bar{x} \in Y_{\gamma, \beta}$ .



obr. 6

či nikoliv. Z operativních charakteristik je zřejmé, že jekmíle  $\mu \notin \gamma_f$ , bude pravděpodobnost, že seřízení budeme považovat za správné, menší než zhruba  $1 - \beta$ , v našem případě  $\sim 0,1$  (v praktických případech bude totiž  $W(\sup \gamma_f)$ ,  $W(\inf \gamma_f)$  blízko  $1 - \beta$ ). To je nanejvýše žádoucí, neboť můžeme říci, že jen zcela vyjímečně se budou vyskytovat případy, kdy  $\mu \notin \gamma_f$ .

Značně komplikovanější je však situace v případě  $\mu \in \gamma_f$ . Předpokládejme např., že  $\mu = \Delta$ . To je v našem příkladě přímo ideální případ. Pro  $n = 6$  bude však  $W(\Delta) \sim 0,7$ . To znamená, že v průměru zhruba ve 30% případů takové seřízení nebudeme

považovat za správné. Pro  $n = 14$  bude již  $W(\mu) \sim 1$ . Podobné úvahy lze provést pro libovolná  $\mu \in \mathcal{Y}_r$  a lze říci, že vždy bude existovat jistá pravděpodobnost, že ačkoli  $\mu \in \mathcal{Y}_r$  bude se na základě statistické analýzy provéď technologicky nezdůvodněné nové seřízení nebo přeseřízení. Čím větší bude  $n$ , tím menší bude tato pravděpodobnost, tím více se bude me přibližovat teoretickému průběhu operativní charakteristiky, které je dána vztahem :

$$\left. \begin{array}{l} W(\mu) = 0, \quad \mu \notin \mathcal{Y}_r, \\ W(\mu) = 1, \quad \mu \in \mathcal{Y}_r. \end{array} \right\} \quad (3.73)$$

Teoretický průběh operativní charakteristiky je na obr.6 znázorněn silnou dvakrát lomenou čarou. Pro dokreslení této problematiky uvádím v tab.I výpis z přímospřaženého dálnopisu číslicového počítače, kde pro uvedený příklad jsou hránice intervalu  $\mathcal{Y}_{r,13}$ . Všechny výpočty byly provedeny na číslicovém počítači s použitím podprogramů uvedených v následující kapitole.

Pro upřesnění dalších vývodů uvádím ještě tzv. "anglickou metodu" aplikovanou v Anglii již v letech II.světové války. Pro zjednodušení výpočtů když počítám pravděpodobnost zleva zanedbám pravděpodobnost zprava a naopak. Tato metoda předpokládá, že náhodný proces se realizuje stejně jako v uvedeném příkladě a je založena na pravidlu 6-ti sigma normálního

tab.I

serizovaci protokol:

=====

poloha stredu predepsanego tolerancniho pole: 10.00000  
polovina absolutni velikosti tolerancniho pole: 30.00000  
smerodatna odchylka zakladniho n-souboru: 8.00000  
pokryty podil zakladniho souboru: 0.9973000  
pravdepodobnost pokryti daneho podilu: 0.9000000

zasoba presnosti: 2.25825 17.74175

Frantice arit.prumeru

rozsah vyberu	spodni	horni	poznamka
1			nestaci
2			nestaci
3	9.09558	10.90442	
4	7.50652	12.49348	
5	6.86753	13.13247	
6	6.44886	13.55114	
7	6.13437	13.86563	
8	5.88325	14.11675	
9	5.67577	14.32423	
10	5.50036	14.49964	
11	5.34947	14.65053	
12	5.21787	14.78213	
13	5.10176	14.89824	
14	4.99832	15.00168	

pokrač. tab. I

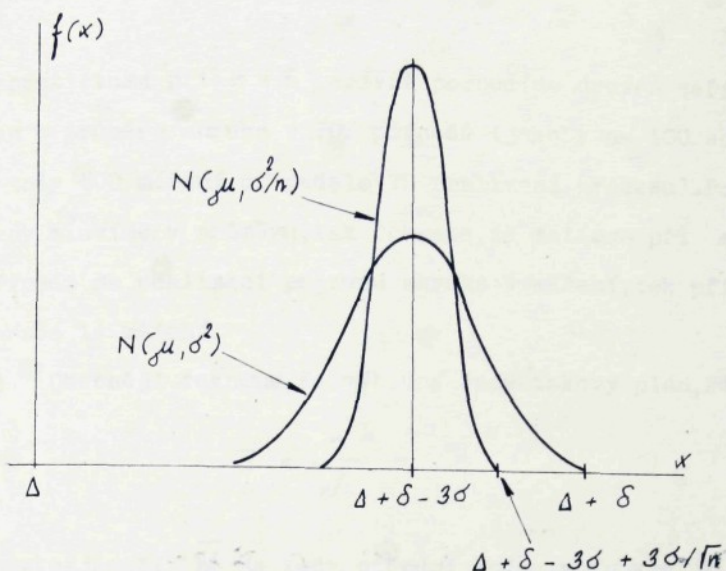
15	4.90541	15.09459
16	4.82135	15.17865
17	4.74483	15.25517
18	4.67477	15.32523
19	4.61032	15.38968
20	4.55076	15.44924

+++end sepr n1+++

rozdělení. Jestliže  $\mu$  leží někde v intervalu  $(\Delta - \delta + 3\sigma, \Delta + \delta - 3\sigma)$ , pak  $\bar{x}$  bude ležet uvnitř intervalu  $(\Delta - \delta + 3\sigma - 3\sigma/\sqrt{n}, \Delta + \delta - 3\sigma + 3\sigma/\sqrt{n})$  s pravděpodobností větší než  $1 - 0,00135$ . Jako by na hranici zásoby přesnosti byla operativní charakteristika také  $\gamma$ .

Na první pohled se tato metoda, jejíž princip je schematicky znázorněn na obr. 7, jeví jako reciproká dříve uvedené (kap. 3.2). Totiž pro  $\mu \in Y_j$  bude  $W(\mu)$  všude blízká 1, ale neopek pokud  $\mu \notin Y_j$ , resp.  $\mu$  bude ležet vně  $Y_j$  blízko hranic, bude existovat stále ještě vysoká pravděpodobnost, že seřízení bude posouzeno jako správné.

Uvědomíme-li si však nutnost odlišné aplikace obou metod, tak nejsou navzájem vůbec v rozporu. Anglická metoda je totiž jakýmsi testem  $\mu \in Y_j$  a jestliže tedy skutečně  $\mu \in Y_j$  - a to my při statistické analýze počáteční úrovně seřízení



obr. 7

(kap. 3.2) můžeme říci s dostatečně vysokou pravděpodobností, tedy v průběhu daného procesu lze v jednotlivých časových okamžicích pomocí anglické metody ověřovat, zda nedošlo k nežádoucí změně úrovně seřízení, k náhlé (neočekávané) změně podmínek. Zpravidla se však i taková kontrola úrovně seřízení nazývá regulací.

Dalším důležitým problémem, který lze řešit pomocí operativní charakteristiky je výběr konkrétního plánu pro analýzu úrovně seřízení (počátečního). Lze to demonstrovat na příkladě uvedeném v této kapitole (viz obr.6). Předpokládejme, že  $\mu$  je vždy velmi blízko  $\Delta$  a provádíme tzv. nezávislé seřizování (kap. 3.3). Vybereme-li operativní charakteristiku s  $n = 14$ , tedy prakticky vždy správně úroveň seřízení posoudíme.

Neproti tomu při  $n = 6$  správně posoudíme úroveň seřízení jen v průměru zhruba v 70% případů (jakoby na 100 seřízení a tedy 600 měření připadalo 70 realizací procesu). Pokud tedy mluvíme v průměru, tak řekneme, že zatímco při  $n = 6$  připadá na realizaci procesu zhruba 9 měření, tak při  $n = 14$  zhruba 14 měření.

Obecněji řekneme, že výhodný bude takový plán, kde

$$\bar{n} = \frac{n}{\bar{W}} \quad (3.74)$$

bude nejmenší.  $\bar{W}$  je tedy střední hodnota funkce  $W(\mu)$  v intervalu  $\mathcal{Y}$ .

Nemá smysl počítat zde přesně a to hned ze dvou důvodů. Jednak nelze stejně odebrat k analýze např. 7,15 ks a pak také úplným kriteriem bude nejen čas na měření, ale i čas na ev. další nezávislé seřízení. V uvedeném příkladě snadno odhadneme, že

$n = 3$ ;	$\bar{W} \sim 0,1$ ;	$\bar{n} \sim 30$ ;
4 ;	0,29 ;	14 ;
5 ;	0,38 ;	13 ;
6 ;	0,43 ;	14 ;
14 ;	0,63 ;	22 ;

Takže výhodným je plán s  $n = 5$ , přičemž optimum je posunuto mírně směrem k vyšším hodnotám  $n$  podle toho, jak komplikované je ev. další nezávislé seřízení.

Pokud  $W(\mu)$  je ve tvaru (3.72), tak při výpočtu  $\bar{W}$  řešíme integrál typu

$$\begin{aligned} I &= \int_c^d [\phi_{-\infty}(kx-a) - \phi_{-\infty}(kx-b)] dx = \\ &= \frac{1}{k} [(kd-a)\phi_{-\infty}'(kd-a) - (kd-b)\phi_{-\infty}'(kd-b) + \\ &\quad + \phi'(kd-a) - \phi'(kd-b) - (kc-a)\phi_{-\infty}'(kc-a) + \\ &\quad + (kc-b)\phi_{-\infty}'(kc-b) - \phi'(kc-a) + \\ &\quad + \phi'(kc-b)]. \end{aligned} \tag{3.75}$$

To je pochopitelně přesné řešení, přičemž význam konstant  $k, a, b, c, d$  plyne ze vztahu (3.72) a  $I$  pak dělíme délkom  $\underline{y}_T$ . Analytické řešení podobných integrálů je uvedeno v závěru kap. 4.

V kap. 3.2 byl problém statistické analýzy formulován takto: "..... padl podíl slespoň  $f$  základního souboru". Tzn., že můžeme očekávat podíl nevyhovujících součástí podstatně menší než  $1-f$ . Prostřednictvím operativní charakteristiky však dokážeme určit tekový plán analýzy seřízení, aby do intervalu  $\underline{y}_T$  padl podíl prévě  $f$  základního souboru.

Celý problém výpočtu lze pak prakticky demonstrovat takto. Mějme velký počet strojů určených pro stejnou technologickou úlohu, na kterých provádíme nezávislé seřizování. Z teoretického hlediska je to totéž, jako kdyby na jednom stroji byl proveden velký počet realizací. Nastavená seřízení projdou "jakoby filtrem" operativní charakteristiky a pak se ptáme, jaké je rozdělení  $\mu$  (úrovně seřízení) realizovaných procesů. Když apriorní rozdělení  $\mu$  je  $f(\mu)$ , bude frekvenční funkce hledaného rozdělení ve tvaru

$$f(\mu) = \frac{f(\mu) W(\mu)}{\int_{-\infty}^{\infty} f(x) W(x) dx}. \quad (3.76)$$

Je-li distribuční funkce výsledného rozdělení veličiny  $\xi$  se střední hodnotou  $\mathbb{E}\xi$  a rozptylem  $D\xi$  v normovaném tvaru  $F$ , tak pro každé pevné  $\mu$  bude

$$f_\mu = F\left(\frac{\Delta + \delta - \mathbb{E}\xi}{\sqrt{D\xi}}\right) - F\left(\frac{\Delta - \delta - \mathbb{E}\xi}{\sqrt{D\xi}}\right), \quad (3.77)$$

takže hledaný plán je dán řešením integrální rovnice

$$\bar{f} = \int_{-\infty}^{\infty} g_\mu f(\mu) d\mu, \quad (3.78)$$

kde  $\bar{f}$  je "podíl právě  $f$  základního souboru".

Konkrétně pro příklad uvedený v této kapitole bude  $f(\mu) = 1/k$  pro  $k$  dostatečně velké, takže

$$f_\mu = \left[ \phi\left(\frac{\sup Y_{r,n} - \mu}{\sigma} \sqrt{n}\right) - \phi\left(\frac{\inf Y_{r,n} - \mu}{\sigma} \sqrt{n}\right) \right] / \int_{-\infty}^{\infty} \left[ \phi\left(\frac{\sup Y_{r,n} - \mu}{\sigma} \sqrt{n}\right) - \phi\left(\frac{\inf Y_{r,n} - \mu}{\sigma} \sqrt{n}\right) \right] d\mu, \quad (3.79)$$

přičemž dále

$$f_\mu = \phi\left(\frac{\Delta + \delta - \mu}{\sigma}\right) - \phi\left(\frac{\Delta - \delta - \mu}{\sigma}\right). \quad (3.80)$$

Další řešení je možné zpravidla jen numericky. Speciálně o výpočtu plému ze vztahů (3.72) a (3.73) se zmíňuji v závěru kap. 4. Prvním a dost přesným odhadem může být  $\bar{y}_{1,0,5}$ .

Ne vždy je však použití takového plánu správné. Předpokládejme, že tzv. žádoucí úroveň výroby (v americké literatuře označovaná jako Acceptable Quality Level - AQL) je  $1 - \gamma$ . Tzn., že všechny dodávky obsahující podíl  $1 - \gamma$  vadných kusů budou odběratelem přijaty s pravděpodobností blízkou 1. Plán analyzy seřízení založený na podílu alespoň  $\gamma$  je nanejvýše rozumný. Ovšem za jistých předpokladů lze použít plánu analyzy seřízení založeném na podílu právě  $\gamma$ , např. když součásti všech realizací smícháme (mechanické smíchání rozdělení) a znovu náhodně vybrané dodávky budou obsahovat podíl právě  $\gamma$  vadných kusů. Pravděpodobnost přijetí takových dodávek je také blízká 1 (i když riziko dodavatele se zvýší), ovšem analýza seřízení bude provedena s menší námhrou.

Je možné říci, že mnohdy je obtížnější pro dané konkrétní podmínky určit, co od statistické analýzy očekáváme, než samotný výpočet, který byť se skládá z řešení komplikovaných transcendentních rovnic, nepředstavuje při použití výpočetní techniky velký problém.

#### 4. NUMERICKÁ ŘEŠENÍ

Jak vyplývá z předcházející kapitoly, tisk snalyza seřízení vyžaduje řešení mnohdy značně komplikovaných numerických úloh. Bylo by jistě zcela absurdní požadovat např. na seřizování, aby během seřizování řešil i transcendentní rovnice uvedené v předcházející kapitole. Naopak všechna tato řešení musí být dána a priori a v přijatelné formě.

Netvrídíme, že úlohu uvedených typů nelze řešit ručně. Vlastně je to pouze otázka, kolik času (a trpělivosti) pro ruční řešení máme k dispozici. Ale zcela obecně lze říci, že se jedná o úlohy takřka klasického typu, jejichž efektivní řešení zvládne v rozumném čase pouze číslicový počítač. Proto se v této kapitole zabývám numerickým řešením uvedených úloh pomocí číslicového počítače.

Výsledky presentuji ve formě obvyklé v moderní literatuře, tzn. matematická formulace plus odpovídající podprogram ve vyšším programovacím jazyku. Volil jsem zámerně programovací jazyk FORTRAN IV, neboť technikum je nejbližší a navíc je zde možnost předkompilace. Vývojové diagramy neřeknou o řešení více (spíše naopak) a vůbec není težké převést dále uváděné podprogramy např. do ALGOLu. Ostatně některé podprogramy byly z publikačního ALGOLu převedeny do FORTRANu IV.

##### 4.1 Integrální funkce rozdělení

Výpočet integrálních funkcí rozdělení pravděpodobnosti představuje pouze zdánlivě jakýsi okrajový problém. Při řešení úloh z teorie pravděpodobnosti a matematické statistiky mají však tyto výpočty fundamentální význam. Uvádíme pouze ty

integrální funkce rozdělení, které jsou dále využívány na vyšších stupních výpočtu.

Nejčastěji se vyskytující úlohou je výpočet integrální funkce rozdělení Gaussova-Laplaceova :

$$\Phi_{-\infty}(x) = \int_{-\infty}^x \frac{1}{\sqrt{2\pi}} e^{-\frac{w^2}{2}} dw \dots \quad (4.1)$$

V převážné většině praktických případů výpočtu  $\Phi(x)$  je postačující approximace podle /12/ :

$$\Phi(x) = 0,5 \left[ 1 - \left( \sum_{i=1}^6 a_i x^i \right)^{-16} \right] \quad (4.2)$$

pro kladné  $x$ . Přitom

$$\Phi_{-\infty}(x) = 0,5 + \Phi(x), \quad (4.3)$$

$$\Phi(-x) = -\Phi(x) \quad (4.4)$$

a hodnoty konstant  $a_i$  jsou zřejmé z připojeného podprogramu FLG (na str. 49). Absolutní chyba je menší než  $1,53 \cdot 10^{-7}$ .

Mnohem přesněji, až na malý interval  $x$  na plnou délku mantisy, počítá podprogram FLG3 (str. 50-1). Jádrem je algoritmus uvedený v lit. /13/ s úpravami uvedenými v lit. /1/ a /14/. V principu podprogram počítá následovně.

Není těžké např. pro  $x = 6$  spočítat

$$\Phi(x) = 1 - \Phi_{-\infty}(x) = 0,9865875 \cdot 10^{-9}.$$

Ovšem právě při odečítání se nám v závislosti na délce mantisy

Line relatdr fortran source program

```
1      0
2      0 c    distribucni funkce normalniho rozdeleni
3      0 c    approximace podle hastingse
4      0
5      0      function f Lg(x)
6      16     b=abs(x)
7      20     if(b>5.2)1,1,2
8      23     2 f Lg=0.
9      24     go to 3
10     25     1 f Lg=1.+b*(4.9867346967e-2+b*(2.114100615e-2
11     25     /+b*(3.2776263241e-3+b*(3.8003575e-5+b*
12     25     /(4.88)(635643e-5+b*5.382975e-6)))))
13     41     f Lg=0.5/f Lg**16
14     47     3 if(x)>4,4,5
15     52     5 f Lg=1.-f Lg
16     54     4 return
17     55     end
18     55
19     55
20     55 mon
```

number of errors none  
program unit inserted

konkrétního počítače přesná čísla ztrácí.Uvážíme-li, že

$\Phi_{-\infty}(-1,28) \approx 0,1$ , tak se zdá nejvhodnější, aby na výstupu podprogramu byly tyto hodnoty :

$$\Phi(x), \quad |x| < 1,28 ,$$

$$\Phi_{-\infty}(x) \quad x \leq -1,28 ,$$

$$\Phi_{\infty}(x), \quad x \geq 1,28.$$

Protože však při  $|x|$  o málo větším než 1,28 vznikají potíže při přímém výpočtu  $\Phi_{\infty}(x)$  (semidivergentní řada), počítá podprogram  $\Phi_{\infty}(x)$  pro  $x < 0$  a  $\Phi_{\infty}(x)$  pro  $x > 0$ , ovšem tak, že pro  $x \in (-3,5 ; 2,32)$  se použije konvergentní řady

Line reladr

fortran source program

```
1      0
2      0 c    normalni rozdeleni,typ=.t.-doplnek
3      0 c    distribucni funkce,typ=.f.-distribucni
4      0 c    funkce,algoritmus i.d.hill-s.a.joyce-
5      0 c    a.g.adams
6      0
7      0       function f lg3(x,typ)
8      0       logical typ,typv
9      33      if(x.ne.0.) go to 1
10     42      flg3=0.5
11     43      return
12     44      1 typv=x.gt.0.
13     47      typv=typ.and.typv.or..not.typ.and..not.typv
14     56      b=abs(x)
15     60      x2=x*x
16     62      y=0.3989422804*exp(-0.5*x2)
17     67      r=y/b
18     71      1f(r)2,2,9
19     74      9 r=3.5
20     75      1f(typv)r=2.32
21    100      1f(b.gt.r) go to 4
22    104      y=y*b
23    105      flg3=y
24    106      s=y
25    107      r=3.
26    110      5 y=y*x2/r
27    112      flg3=flg3+y
28    113      1f(f lg3-s)6,6,7
29    116      7 s=flg3
30    117      r=r+2.
31    120      go to 5
32    121      6 1f(typv) go to 8
33    124      flg3=0.5+flg3
34    126      return
35    127      8 flg3=0.5-f lg3
36    131      return
37    132      4 a1=2.
38    133      a2=0.
39    134      t=x2+3.
40    136      p1=y
41    137      q1=b
42    140      p2=(t-1.)*y.
43    142      q2=t*b
44    144      r=p1/q1
45    146      flg3=p2/q2
46    150      1f(typv) go to 12
47    153      r=1.-r
48    155      flg3=1.-flg3
49    157      12 t=t+4.
50    160      a1=a1-8.
```

```

51   161      a2=a1+a2
52   163      s=a2*p1+t*p2
53   167      p1=p2
54   170      p2=s
55   171      s=a2*q1+t*q2
56   175      q1=q2
57   176      q2=s
58   177      if (q2.lt.1e+15), o to 10
59   203      q1=q1*1e-15
60   204      q2=q2*1e-15
61   205      p1=p1*1e-15
62   206      p2=p2*1e-15
63   207      10 s=r
64   210      r=f lg 3
65   211      f lg 3=p2/q2
66   213      if (typv), o to 11
67   216      f lg 3=1.-f lg 3
68   220      11 if (r-f lg 3)12,14,12
69   223      14 if (s-f lg 3)12,3,12
70   226      2 f lg 3=1.
71   227      if (typv)f lg 3=0.
72   232      3 return
73   233      end
74   233
75   233
76   233
77   233
78   233  monap

```

number of errors none  
 program unit inserted

$$\Phi(x) = \phi'(x) \left( x + \frac{x^3}{3} + \frac{x^5}{3 \cdot 5} + \frac{x^7}{3 \cdot 5 \cdot 7} + \dots \right) \quad (4.5)$$

a pro  $x \notin (-3,5 ; 2,32)$  se používá semidivergentní řady,  
 ale ve tvaru řetězového zlomku :

$$\phi_{\infty}(x) = \frac{\phi'(x)}{x} \left( 1 + \frac{-1}{x^2 + 3} + \frac{-6}{x^2 + 7} + \dots \right)$$

$$+ \frac{-20}{x^2 + 11} + \frac{-42}{x^2 + 15} + \frac{-42}{x^2 + 19} + \dots \quad (4.6)$$

Protože  $\phi_{-\infty}(-2,32) = 0,01$ , ztrácíme tím ev. jen 1 přesnou  
 číslici mantisy.

V podprogramu FLG3 je navíc jedna formální proměnná TYP typu LOGICAL, pomocí které lze určit formu výstupu :

$$\text{TYP} = \text{.TRUE.} \Rightarrow \text{FLG3} \leftarrow \phi_{\infty}(x)$$

$$\text{TYP} = \text{.FALSE.} \Rightarrow \text{FLG3} \leftarrow \phi_{\infty}(x)$$

Dále je do podprogramu zebudována pojistka proti "přeplnění" (LINE 58-62), což je v podstatě krácení jedné z postupných approximací řady (4.6) hodnotou  $10^{15}$ , kterou jsem vyzkoušel s ohledem na zobrazovací možnosti počítače MINSK 22.B.Holmgren pro počítač GE-625, který pracuje s 28-bitovou mantisou a exponentem do  $10^{38}$  používá konstantu  $10^{30}$ . Pro konkrétní typy počítačů není těžké nalézt vhodnou konstantu.

Dále uvádíme podprogram FCHIQ (str. 53) pro výpočet integrální funkce  $\chi^2$ -rozdělení :

$$F_{\chi^2}(x, k) = \int_0^x \frac{y^{\frac{1}{2}k-1} e^{-\frac{1}{2}y}}{2^{\frac{k}{2}} \cdot \Gamma(\frac{k}{2})} dy, \quad x \geq 0, k \geq 1, \quad (4.7)$$

kde  $k$  je počet stupňů volnosti a  $\Gamma$  je symbol Eulerovy funkce 2. druhu. Je použito rekurentního vzorce :

$$F_{\chi^2}(x, k) = F_{\chi^2}(x, k-2) - e^{-\frac{1}{2}x} \frac{(\frac{1}{2}x)^{\frac{1}{2}k-1}}{\Gamma(\frac{k}{2})}, \quad (4.8)$$

$$F_{\chi^2}(x, 1) = 2 \left[ \phi_{\infty}(fx) - 0,5 \right], \quad (4.9)$$

$$F_{\chi^2}(x, 2) = 1 - e^{-\frac{1}{2}x}. \quad (4.10)$$

Pro případ, kdy se  $e^{-\frac{1}{2}x}$  zobrazí jako  $\emptyset$ , je v podprogramu přechod k ln s pak zpět pomocí funkce EXP.

Line reladr fortran source program

```
1      0      c      distribuci funkce chi-kvadrat rozdeleni
2      0      c
3      0
4      0      function fchiq(x,n,nmax)
5      0      logical nsude
6     27      if(x.lt.0..or.n.lt.1)stop
7     44      if(n.gt.nmax)go to 21
8     50      nsude=n/2*2.eq.n
9     63      a=x/2.
10    65      k=(n-1)/2
11    71      y=exp(-a)
12    76      if(y)11,11,7
13   101      7 if(nsude)go to 1
14   104      fchiq=2.*flg3(sqrt(x),.false.)-1.
15   114      go to 2
16   115      1 fchiq=1.-y
17   117      2 if(n.le.2)return
18   124      if(nsude)go to 3
19   127      e=0.564189583548/sqrt(a)
20   131
21   131      c      0.564189583548=1/sqrt(pi)
22   134
23   134      p=0.5
24   135      go to 4
25   136      3 e=1.
26   137      p=0.
27   140      4 s=0.
28   141      do 5 i=1,k
29   142      e=e*a/(float(i)-p)
30   152      5 s=s+e
31   156      fchiq=fchiq-y*s
32   161      6 if(fchiq.lt.0.)fchiq=0.
33   165      return
34   166      11 fchiq=1.
35   167      if(nsude)go to 12
36   172      e=0.572364942925
37   172
38   172      c      0.572364942925=aalog(sqrt(pi))
39   173
40   173      p=0.5
41   174      go to 13
42   175      12 e=0.
43   176      p=0.
44   177      13 s=aalog(a)
45   202      do 14 i=1,k
46   203      y=i
47   206      e=aalog(y-p)+e
48   213      14 fchiq=fchiq-exp(y*s-a-e)
49   225      go to 6
50   226      21 p=n
```

```

51    231      p=sqrt(4.5*p)*((x/p)**0.33333333333
52    236      /+0.2222222222/p-1.)
53    246      fch iq=f lg3(p,.false.)
54    254      return
55    255      end
56    255
57    255  mon

```

number of errors none  
program unit inserted

Pro případ, kdy počet stupňů volnosti  $k > k_{max}$  (formál-  
ní parametr nmax), je použito sproximace

$$F_{\chi^2}(x, k) \doteq \Phi \left[ \sqrt{4.5k} \left( \sqrt{\frac{x}{k}} + \frac{2}{9k} - 1 \right) \right], \quad (4.11)$$

která již pro  $k > 40$  dává přesná 3 desetinná místa. Doporuču-  
ji proto za skutečný parametr, který se dosažuje za nmax, dát  
číslo větší než 40.

Při vylučování tzv. "odchylených normálních pozorování"  
počítám s integrální funkcí rozdělení ve tvaru :

$$\begin{aligned} F_v(x, k) &= 0,5 + \operatorname{sgn} x \cdot \vartheta(k) \int_0^w (1-y^2)^{\frac{k-4}{2}} dy = \\ &= 0,5 + \operatorname{sgn} x \cdot G_v(w, k), \quad |x| < \sqrt{k-1}, \end{aligned} \quad (4.12)$$

$$F_v(x, k) = 0, \quad x \leq -\sqrt{k-1}, \quad (4.13)$$

$$F_v(x, k) = 1, \quad x \geq \sqrt{k-1}, \quad (4.14)$$

kde

$$w = |x|/\sqrt{k-1}, \quad (4.15)$$

line number fortran source program

```

1      0
2      0 c    vylucovani odchylenych pozorovani
3      0
4      0      function fv(x,n)
5      24     if(n.le.2)stop
6      36     fv=sqrt(float(n-1))
7      46     if(x-fv)>1.2,2
8      51     2 fv=1.
9      52     return
10     53     1 if(x+fv)>3.3,4
11     56     3 fv=0.
12     57     return
13     60     4 w=abs(x)/fv
14     62     s=1.-w**2
15     70     if(n/2*2.eq.n)go to 5
16     104    g=0.3183098861838
17     105    r=w/sqrt(s)
18     112    fv=g*atan(r)
19     115    go to 6
20     116    5 g=0.5
21     117    r=w
22     120    fv=g*r
23     122    6 i=n/2*2-n+4
24     131    9 if(i-n)>7,8,8
25     134    7 i=i+2
26     135    t=i-3
27     142    g=g*t/(t-1.)
28     150    r=r*s
29     151    fv=fv+g*r/t
30     154    go to 9
31     155    8 fv=0.5+fv*sign(1.,x)
32     161    return
33     162    end
34     162    35 162 more

```

number of errors none  
 program unit inserted

$$\mathcal{A}(k) = \frac{1}{\sqrt{\pi}} \frac{\Gamma(\frac{k-1}{2})}{\Gamma(\frac{k-2}{2})} \quad , \quad (4.16)$$

viz např. /4/.

Tento výpočet realizuje podprogram FV uvedený na této straně. Algoritmus je následující :

$$G_v(w; k) = \frac{\mathcal{H}(k)}{k-3} w (1-w^2)^{\frac{k-4}{2}} + \\ + G_v(w, k-2), \quad (4.17)$$

$$G_v(w, 3) = \arcsin w, \quad (4.18)$$

$$G_v(w, 4) = w, \quad (4.19)$$

$$\mathcal{H}(k) = \frac{k-3}{k-4} \mathcal{H}(k-2), \quad (4.20)$$

$$\mathcal{H}(3) = 1/\pi, \quad (4.21)$$

$$\mathcal{H}(4) = 1/2. \quad (4.22)$$

Pomocí této integrální funkce lze vyloučit např. u  $\chi^2$ -testu normality chybně načtené hodnoty vstupního souboru. Existuje i transformace na rozdělení Studentovo (viz např. /4/).

U iteracního testu náhodnosti počítám s funkcí rozdělení diskrétní náhodné veličiny  $\eta$  ve tvaru :

$$P\{\eta \leq u'\} = \binom{m+n}{n} \sum_{u=2}^{u'} r(u), \quad (4.23)$$

$$r(u) = \binom{m-1}{k-1} \binom{n-1}{k-1} \cdot 2, \quad u \text{ sudé}, \quad k = u/2, \quad (4.24)$$

$$r(u) = \binom{m-1}{k-1} \binom{n-1}{k-2} + \binom{m-1}{k-2} \binom{n-1}{k-1}, \quad u \text{ liché}, \quad k = \frac{u+1}{2}, \quad (4.25)$$

kde  $m, n, u'$  jsou přirozená čísla.

Výpočet realizuje podprogram FILTER (str. 57-8), kde za formální parametr  $u$  se dosazuje  $u'$ ! Přitom

Line reladr fortran source program

```
1      0
2      0 c  rozdeleni pocnu iteraci
3      0
4      0      function fiter(u,m,n)
5      0      integer u
6     30      if(m.lt.1.or.n.lt.1.or.u.lt.2)stop
7     50      if(m-n)1,1,2
8     53      1 mm=m
9     54      nn=n
10    55      go to 3
11    56      2 mm=n
12    57      nn=m
13    60      3 max=2*n+1
14    62      if(m.eq.n)max=max-1
15    71      if(u.lt.max)go to 4
16    75      fiter=1.
17    76      return
18    77      4 p=1.
19   100      rm=float(m+n)/2.
20   106      do 5 i=1,mm
21   107      a=float(i)/float(nn+i)
22   121      if(p*a)6,6,5
23   124      5 p=p*a
24   130      a=2.
25   131      fiter=a
26   132      if(u.eq.2)go to 7
27   141      max=-1
28   143      do 8 i=3,u
29   144      if(max)9,9,10
30   147      9 k=(i+1)/2-1
31   153      h=a*(rm/float(k)-1.)
32   161      fiter=fiter+h
33   162      go to 8
34   163      10 k=i/2-1
35   167      a=a*float(m-k)*float(n-k)/float(k**2)
36   214      fiter=fiter+a
37   215      8 max=-max
38   221      7 fiter=fiter*p
39   222      return
40   223      6 max=i
41   224      p=alog(p)
42   227      do 11 i=max,mm
43   230      11 p=p+alog(float(i)/float(nn+i))
44   250      .a=0.69314718056
45   250
46   250 c  0,6931471805599453.....=alog(2)
47   251
48   251      fiter=exp(a+p)
49   256      if(u.eq.2)return
50   265      max=-1
```

```

51    267      do 12 i=3,u *
52    270      if (max)13,13,14
53    273      13 k=(i+1)/2-1
54    277      b=a+alog(rm/float(k)-1.)
55    307      fiter=fiter+exp(b+p)
56    314      go to 12
57    315      14 k=i/2-1
58    321      a=a+alog(float(m-k)*float(n-k)/float(k)**2)
59    347      fiter=fiter+exp(a+p)
60    354      12 max=-max
61    360      return
62    361      end
63    361
64    361
65    361
66    361  monop

```

number of errors nme  
program unit inserted

$$P\{m \leq 2m\} = 1, \quad m = n, \quad (4.26)$$

$$P\{m \leq 2\min(m, n) + 1\} = 1, \quad m \neq n \quad (4.27)$$

a pokud lze zobrazit  $\binom{m+n}{n}$ , tak

$$\binom{m+n}{n}^{-1} = \frac{n!}{(m+n)(m+n-1)\dots(m+1)}, \quad n \leq m, \quad (4.28)$$

$$\binom{m+n}{n}^{-1} = \frac{m!}{(m+n)(m+n-1)\dots(n+1)}, \quad m < n, \quad (4.29)$$

$$r(u) = \frac{(m-k+1)(n-k+1)}{(k-1)^2} r(u-2), \quad (4.30)$$

*u sudé, k = u/2,*

$$r(u) = \left[ \frac{m+n}{2(k-1)} - 1 \right] r(u-1), \quad u \text{ liché}, \quad k = (u+1)/2, \quad (4.31)$$

$$r(2) = 2. \quad (4.32)$$

Pochopitelně platí :

$$P\{\gamma < u'\} = \sum_{u=2}^{u'} e^{\ln[r(u)] - \ln(\binom{m+n}{n})}, \quad (4.33)$$

což je využito pro začáteční fázi výpočtu v případech, kdy nelze zobrazit  $(\binom{m+n}{n})$ .

#### 4.2 Test náhodnosti

V této kapitole popisuji podprogram pro tzv. iterativní test, pomocí kterého lze ověřit, zda danou posloupnost  $x_1, x_2, \dots, x_n$  lze považovat za nezávislé pozorování téže náhodné veličiny. Tento test není vzhledem k jiným testům právě statisticky nejsilnější, ovšem je relativně jednoduchý a neodvislý od typu rozdělení. Hodí se právě pro ověření podmínek, vytyčených již ve 2. kapitole.

Test je naprogramován jako vlastní procedura ITETES (str. 60-2), přičemž význam formálních parametrů je vysvětlen v poznámkách (LINE 9-16). V této jednoduché podobě je možné test programovat i ve formě např. LOGICAL FUNCTION ITETES a pak by odpadl formální parametr PLATI na výstupu.

Po jednotlivých krocích, oddělených ve zdrojovém programu poznámkami, pracuje tento podprogram následovně. V prvním kroku se vyhledá medián posloupnosti  $x_1, x_2, \dots, x_n$ , uložené v poli X typu REAL dimenze N (LINE 27-53). Je pravda, že právě tato část podprogramu je velmi těžkopádná a pomalá a že jsou známy velmi efektivní algoritmy pro vyhledání mediánu (mezinárodně zatříděný pod SORTING). Není těžké přepsat do

Line	reladr	fortran source program
1	0	
2	0 c	iteracni test
3	0	
4	0	subroutine itetes(x,n,alfa,typ,tisk,plati)
5	0	logical plati
6	0	integer typ,tisk
7	0	dimension x(n)
8	0	
9	0 c	x je posloupnost n prvku
10	0 c	alfa je hladina vyznamnosti testu
11	0 c	typ:1....test na maly pocet iteraci
12	0 c	typ:2....test na velky pocet iteraci
13	0 c	typ:3....test na maly i velky pocet iteraci
14	0 c	tisk je cislo vystupniho zarizeni pro tisk
15	0 c	plati=.true.-hypotezu nahodnosti prijimame
16	0 c	plati=.false.-hypotezu nahodnosti zamitame
17	37	
18	37	if (typ.lt.1.or.typ.gt.3)stop
19	54	if (tisk.lt.0)stop
20	65	if (alfa.lt.0..or.alfa.gt.1.)stop
21	102	if (typ.eq.3.and.alfa.ge.0.5)stop
22	123	write(tisk,1)
23	130	1 format(//2x,83(1h+)//2x,40hoverovani nahod
24	130	/nosti podle poctu iteraci/2x,40(1h=)//)
25	130	
26	130 c	hledej median
27	175	k=n/2
28	201	xmin=-1e+18
29	203	j=0
30	204	5 j=j+1
31	205	dxmin=1e+18
32	206	do 2 i=1,n
33	207	if (x(i)-dxmin)3,2,2
34	220	3 if (x(i).gt.xmin)dxmin=x(i)
35	241	2 continue
36	244	xmin=dxmin
37	245	jskok=-1
38	247	do 4 i=1,n
39	250	if (x(i).eq.xmin)jskok=jskok+1
40	265	4 continue
41	270	j=j+jskok
42	271	if (j-k)5,6,7
43	274	7 edian=xmin
44	275	go to 9
45	276	6 dxmin=1e+18
46	277	do 10 i=1,n
47	300	if (x(i)-dxmin)11,11,10
48	311	11 if (x(i).gt.xmin)dxmin=x(i)
49	332	10 continue
50	335	if (2*(n/2).ne.n) go to 8

```
51    351      edian=(xmin+dxmin)/2.
52    353      go to 9
53    354      8 edian=dxmin
54    354 c    spocti iterace
55    355      9 ip1=0
56    356      ip2=0
57    357      iterac=1
58    357      do 12 i=1,n
59    360      if (x(1)-edian)13,12,14
60    361
61    372      12 continue
62    375      go to 51
63    376      13 ka=0
64    377      ip1=ip1+1
65    400      go to 15
66    401      14 ka=1
67    402      ip2=ip2+1
68    403      15 i=i+1
69    404      do 16 j=i,n
70    405      if (x(j)-edian)17,16,18
71    416      17 kb=0
72    417      ip1=ip1+1
73    420      go to 19
74    421      18 kb=1
75    422      ip2=ip2+1
76    423      19 if (ka-kb)20,16,20
77    426      20 iterac=iterac+1
78    427      ka=kb
79    430      16 continue
80    430
81    430 c    spocti kladinu vyznamnosti
82    433      51 go to(21,22,23),typ
83    440      21 av=fiter(iterac,ip1,ip2)
84    451      25 plati=.true.
85    452      if(av.le.alfa)plati=.false.
86    457      go to 24
87    460      22 av=1.-fiter(iterac-1,ip1,ip2)
88    473      go to 25
89    474      23 av=fiter(iterac,ip1,ip2)
90    505      av1=1.-fiter(iterac-1,ip1,ip2)
91    520      plati=.true.
92    521      if(av.le.alfa/..or.av1.le.alfa/..)
93    521      /plati=.false.
94    534
95    534 c    tisk protokolu
96    535      24 write(tisk,26)n,edian,ip1,ip2,iterac
97    555      26 format(/2x,20h pocet prvku souboru:,15//2x
98    555      /,20h median posloupnosti:,f15.6//2x,20h pocet
99    555      /prvku 1.druhu:,15//2x,20h pocet prvku 2.dru
100   555      /hu:,15//2x,14h pocet iteraci:,15//2x,16h citl
101   555      /ivost testu:)
102   665      go to (27,28,29),typ
103   672      27 write(tisk,30)
104   677      30 format(2x,69hv zvestupna i sestupna tendence
105   677      /,dlouha periodicitu,nahla zmena
```

```
106   677      / podminek)
107   723      go to 33
108   724      28 write(tisk,31)
109   731      31 format(2x,51hkratka periodicita,odpuzovani s
110   731      /ousednich pozorovani)
111   752      go to 33
112   753      29 write(tisk,32)
113   760      32 format(2x,74hiendence,periodicita,nakla zme
114   760      /na podminek,odpuzovani sousednich pozorovani)
115  1005      33 write(tisk,34)alfa
116  1015      34 format(/2x,27hzadana hladina vyznamnosti|,
117  1015      /f10.5)
118  1040      37 format(2x,81hpravdepodobnost,ze pocet iteraci
119  1040      / bude mensi nebo roven vypoctenemu poctu iterac
120  1040      /i:,f10.5)
121  1071
122  1071      36 format(2x,81hpravdepodobnost,ze pocet iteraci
123  1071      /bude vetsi nebo roven vypoctenemu poctu iteraci
124  1071      /i:,f10.5)
125  1122      go to(35,38,39),typ
126  1127
127  1127      35 write(tisk,37)av
128  1127      go to 40
129  1137      38 write(tisk,36)av
130  1140      go to 40
131  1150      39 write(tisk,37)av
132  1151      write(tisk,36)av1
133  1161      40 if(plati)go to 41
134  1171      write(tisk,42)
135  1174      go to 43
136  1201      41 write(tisk,44)
137  1202      43 write(tisk,45)
138  1207      44 format(/2x,59hhypotezu nahodnosti pri
139  1214      /jimame na zadane hladine vyznamnosti)
140  1214      42 format(/2x,58hhypotezu nahodnosti zam
141  1240      /itame na zadane hladine vyznamnosti)
142  1240      45 format(2x,83(1h+))/)
143  1263      return
144  1300      end
145  1301      end
146  1301      1301 nomu
```

number of errors none  
program unit inserted

FORTRANu rekursivní algolskou proceduru partition s generátorem náhodných čísel. Mediám pak najdeme mnohonásobně rychleji, ale sestava bude nejen složitější, ale vždy dojde alespoň k částečnému přerovnání posloupnosti, což by v našem případě znamenalo pracovat s dalším polem, ve kterém bychom přerovnání

mohli provést. Toto pole by již nebylo proměnné dílem se. Pokud však nejsme omezeni kapacitou operační paměti, je možné na LINE 27-53 provést nahradu, což v mém případě bylo prováděno voláním vlastní procedury FIND v jazyku FORTRAN IV, předkompilované na MT. Procedura FIND je přepisem rekursivní algolské procedury find (viz např. /2/), volající proceduru partition.

V dalším kroku (LINE 56-79) se počítá počet iterací. Prvky  $x_i$  menší než medián jsou označeny jako prvky 1.druhu a větší než medián jako prvky 2.druhu. Prvky rovné mediánu se vynechávají. Iteraci pak tvoří každá skupina sousedních prvků stejného druhu (viz např. /8/).

Za předpokladu náhodnosti a nezávislosti je počet iterací náhodnou veličinou s daným rozdělením (viz kap. 4.1). Další operátor (LINE 82-93) již vypočtenou pravděpodobnost porovnává se zadanou hladinou významnosti testu a výsledek testu ukládá na logickou proměnnou PLATI. Dále je již tisk protokolu o iteracním testu.

Podprogram umožňuje volbu tří typů tohoto testu a to podle hodnoty skutečného parametru, který se dosazuje za formální parametr INTEGER TYP ( 1 - 3 ). V případě obrábění přichází v úvahu test typu 1, který je citlivý hlavně na vzestupné a sestupné tendenze.

#### 4.3 Neparametrický test shody

Jako neparametrický test shody uvádíme nejprve  $\chi^2$ -test ve formě vlastní procedury CHITES (str. 64-8). Na vstupu jsou výběry  $x_i$ ,  $i = 1, 2, \dots, n$  (REAL DIMENSION X(N)), zadané hladina významnosti testu (ALFA) a proměnná TISK typu

line reladr      fortran source program

```
1      0
2      0 c      Chi-kvadrat test normality
3      0
4      0      subroutine chites(x,n,alfa,tisk,
5      0      /ap,sd,plati,roz)
6      0      integer tisk,test
7      0      logical plati,roz
8      0      dimension x(n),ltr(3),r(20),s(20),
9      0      /ni(20),y(20),z(20),prob(20),tikv(20),
10     0      /p(3)
11    304      write(tisk,100)
12    307
13    307 c      operator 1
14    311      m=n-1
15    313      do 1 i=1,m
16    314      l=i
17    315      3 k=l+1
18    317      if (x(l)-x(k))1,1,2
19    340      2 change=x(k)
20    347      x(k)=x(l)
21    364      x(l)=change
22    372      l=l-1
23    373      if (l)1,1,3
24    376      1 continue
25    376 c      end operator 1
26    376
27    376 c      operator 2
28    401      ip=1
29    402      ik=n
30    403      ivyl=0
31    404      write(tisk,101)
32    411      9 s1=0.
33    412      s2=0.
34    413      do 4 i=ip,ik
35    414      s1=s1+x(i)
36    423      4 s2=s2+x(i)**2
37    437      rna=float(ik-ip+1)
38    444      ap=s1/rna
39    446      sd=sqrt(s2/rna-ap**2)
40    446 c      end operator 2
41    460
42    460 c      operator 3
43    461      if (1.-(fv((ap-x(ip))/sd,ik-ip+1)).
44    477      /**(ik-ip+1).lt.alfa) go to 5
45    512      if (1.-(fv((x(ik)-ap)/sd,ik-ip+1))
46    527      /**(ik-ip+1).lt.alfa) go to 6
47    542      go to 7
48    543      5 xx=x(ip)
49    552      ip=ip+1
50    553      go to 8
```

```
51      554      6 xx=x(ik)
52      563      ik=ik-1
53      564      8 write(tisk,102)xx
54      574      ivyl=ivyl+1
55      575      go to 9
56      576      7 write(tisk,103)ivyl
57      576 c    end operator 3
58      601
59      601 c    operator 4
60      606      xv=0.
61      607      k=n/11
62      613      do 58 i=1,k
63      614      xv=(3.14159265+xv)**8
64      620      58 xv=xv-float(ifix(xv))
65      622      test=0
66      633      min=6
67      634      do 10 i=1,3
68      635      10 ltr(i)=0
69      642      i=1
70      643      if (i.eq.1) go to 13
71      652      39 moz=min
72      653      do 11 j=1,3
73      654      do 11 k=1,min
74      655      if (ltr(j).eq.k) moz=moz-1
75      666      11 continue
76      674      if (moz) 12,12,13
77      677      13 xv=(3.14159265+xv)**8
78      703      xv=xv-float(ifix(xv))
79      712      ltr(i)=ifix(1.+float(min)*xv)
80      723      if (i.eq.1) go to 68
81      732      k=1-1
82      734      do 14 j=1,k
83      735      if (ltr(i)-ltr(j)) 14,13,14
84      746      14 continue
85      746
86      746 c    pocet trid
87      751      68 m=ifix(3.322*log10(rna)+ltr(i)+0.5)
88      766
89      766 c    sirka trid
90      767      h=(x(ik)-x(ip))/float(m-1)
91      1013
92      1013 c    hraniční trid
93      1016      r(1)=x(ip)+h/2.
94      1027      do 15 j=2,m
95      1030      15 r(j)=r(j-1)+h
96      1032
97      1032 c    stredy trid
98      1037      s(1)=r(1)-h/2.
99      1043      do 16 j=2,m
100     1044      16 s(j)=(r(j)+r(j-1))/2.
101     1044 c    end operator 4
102     1052
103     1052 c    operator 5
104     1057      do 17 j=1,m
105     1060      17 ni(j)=0
```

106 1065 do 18 j=1,p,1k  
107 1066 do 19 lk=1,m  
108 1067 if(x(j).lt.r(lk)),o to 20  
109 1105 19 continue  
110 1110 20 ni(lk)=ni(lk)+1  
111 1114 18 continue  
112 1114 c end operator 5  
113 1114  
114 1114 c operator 6  
115 1117 sum=0.  
116 1120 do 21 j=1,m  
117 1121 21 sum=sum+s(j)  
118 1127 sum=sum/float(m)  
119 1133 do 22 j=1,m  
120 1134 if(sum-s(j).le.h/2.),o to 23  
121 1147 22 continue  
122 1152 23 poc=s(j)  
123 1155 do 24 j=1,m  
124 1156 24 y(j)=(s(j)-poc)/h  
125 1166 sy=0.  
126 1167 syy=0.  
127 1170 do 25 j=1,m  
128 1171 yy=y(j)\*float(ni(j))  
129 1203 sy=sy+yy  
130 1204 yy=yy\*y(j)  
131 1207 25 syy=syy+yy  
132 1207 c end operator 6  
133 1207  
134 1207 c operator 7  
135 1213 ypruh=sy/rna  
136 1215 ap=ypruh\*h+poc  
137 1217 sc=sqrt(h\*\*2\*((syy-ypruh\*sy)/  
138 1225 /(rna-1.)-0.08333333333))  
139 1225 c end operator 7  
140 1236  
141 1236 c operator 8  
142 1237 mik=0  
143 1240 mak=m/5+1  
144 1244 pr=0.  
145 1245 do 28 j=1,m  
146 1246 if(j-m)51,52,52  
147 1251 51 z(j)=(r(j)-ap)/sd  
148 1256 prob(j)=f lg(z(j))-pr  
149 1272 pr=prob(j)+pr  
150 1275 go to 53  
151 1276 52 prob(m)=1.-pr  
152 1301 53 rnaa=rna\*prob(j)  
153 1304 if(rnaa.lt.1.),o to 29  
154 1310 if(rnaa.lt.5.)mik=mik+1  
155 1314 if(mik.gt.mak),o to 29  
156 1320 28 continue  
157 1320 c end operator 8  
158 1320  
159 1320 c operator 9  
160 1323 test=test+1

```
161 1324      do 30 j=1,m
162 1325      30 hikv(j)=(float(ni(j))-rna*
163 1333          /prob(j))**2/rna/prob(j)
164 1393          hikrit=0.
165 1354          do 31 j=1,m
166 1355          31 hikrit=hikrit+hikv(j)
167 1363          pr=fch1q(hikrit,m-3)
168 1373          pr=1.-pr
169 1375          if(pr-al>a)32,33,33
170 1400          32 p(test)=-1.
171 1403          go to 34
172 1404          33 p(test)=1.
173 1406          34 z(m)=(r(m)-ap)/sd
174 1413          write(tisk,104)test,m
175 1425          write(tisk,105)
176 1432          do 35 it=1,m
177 1433          write(tisk,106)it,r(it),ni(it),
178 1451          /s(it),y(it),z(it),prob(it),hikv(it)
179 1477          35 continue
180 1502          write(tisk,107)hikrit
181 1512          plati=.true.
182 1513          if(p(test).lt.0.)plati=.false.
183 1521          write(tisk,108)plati
184 1521 c        end operator 9
185 1524
186 1524 c        operator 10
187 1531          if(test-2)36,37,36
188 1534          37 if{p(test)+p(test-1)})36,36,12
189 1544          36 if(test-3)38,12,12
190 1547          38 i=i+1
191 1550          go to 39
192 1551          29 min=Ltr(i)
193 1554          if(min)12,12,39
194 1557          12 if(test)40,40,41
195 1562          40 roz=.false.
196 1563          plati=.false.
197 1564          write(tisk,109)
198 1571          go to 47
199 1572          41 if(test-1)42,42,43
200 1575          42 roz=.true.
201 1576          plati=.true.
202 1577          if(p(test).lt.0.)plati=.false.
203 1605          go to 48
204 1606          43 if(test-2)44,44,45
205 1611 -        44 if{p(test)+p(test-1)})46,46,45
206 1621          46 roz=.false.
207 1622          plati=.false.
208 1623          write(tisk,110)
209 1630          go to 47
210 1631          45 roz=.true.
```

```
211 1632      plati=.false.
212 1633      if(p(test).gt.0.)plati=.true.
213 1642      48 write(tisk,111)plati
214 1652      47 write(tisk,112)
215 1652 c    end operator 10
216 1655
217 1655 c    formatove specifikace
218 1657      100 format(//2x,38hprotokol o chi-kvad
219 1657      /rat testu normality/2x,38(1h=))
220 1712      101 format(//2x,32hhodnoty vyloucenych p
221 1712      /rvku:   -/)
222 1732      102 format(f41.4)
223 1743      103 format(/2x,24hpocet vyloucenych p
224 1743      /rvku=,15/)
225 1763      104 format(2x,10htrideni c.,11/2x,
226 1763      /11hpocet trid:,13/)
227 2011      105 format(2x,4hc.tr,5x,10hna
228 2011      /nice tr,2x,7hcetnost,3x,11hstre
229 2011      /d tridy,2x,9hnova prom,2x,12hpri
230 2011      /ve hranice,2x,12hpribliz prob,
231 2011      /3x,8hscitance/2x,92(1h=))
232 2075      106 format(16,e15.6,18,e15.6,f9.0,
233 2075      /e16.6,f12.5,e13.6)
234 2137      107 format(2x,32(1h-)/2x,22hchi k
235 2137      /vadrat kriterium=,f8.3/)
236 2170      108 format(2x,15hvysledek testu:,14//)
237 2207      109 format(/2x,37hoczek.cetnosti male,
238 2207      /testu nelze pouzit/2x,37(1h=))
239 2237      110 format(/2x,49hvysledek testu ne
240 2237      /jisty,vyhodnejsi jsou jine testy/
241 2237      /2x,49(1h=))
242 2271      111 format(/2x,23hkonecny vyste
243 2271      /dek testu:,14/2x,27(1h=))
244 2321      112 format(/2x,92(1h+))
245 2336      return
246 2337      end
247 2337
248 2337
249 2337 nom
```

number of errors none  
program unit inserted

INTEGER, která definuje fyzikální jednotku pro tisk protokolu o testu. Výstup tvoří odhady střední hodnoty a směrodatné odchylky (AP,SD) a logické proměnné PLATI a ROZ. Na PLATI se ukládá výsledek testu a na ROZ doporučení o vhodnosti použití  $\chi^2$ -testu pro daný soubor.

Podprogram je uveden jako  $\chi^2$ -test normality. Testuje tedy hypotezu o normalitě základního souboru. Lze ho však použít i pro jiné rozdělení a to potlačením operátoru 2 a 3 a zařazením FLG mezi formální parametry. Pak ovšem FLG bude vnější funkce definující výpočet integrální funkce sledovaného rozdělení a v programové jednotce volající CHITES bude v popisu EXTERNAL.

Ve shodě s rozčleněním podprogramu do jednotlivých operátorů vyznačených poznámkami probíhá výpočet následovně :

Operátor 1 .

Přerovnává danou posloupnost  $\{x_i\}$  v posloupnost  $\{x'_i\}$  těchž prvků, kde však

$$x'_1 \leq x'_2 \leq \dots \leq x'_n . \quad (4.34)$$

V případě velkých  $n$  (např. pro MINSK 22 pro  $n > 500$ ) doporučuji operátor 1 nahradit přepisem algolské procedury sort (viz /2/).

Operátor 2 .

Výpočet  $\bar{x}$  a  $s$  podle vztahů :

$$\bar{x} = \frac{1}{n} \sum_{i=1}^n x_i , \quad (4.35)$$

$$s^2 = \frac{1}{n} \sum_{i=1}^n (x_i - \bar{x})^2 . \quad (4.36)$$

Operátor 3 .

Provádí vylučování tzv. odchýlených pozorování, tzn. prováření nejmenších resp. největších hodnot  $x'_i$ .

Vypočtená  $\alpha_1$  a  $\alpha_2$ , kde

$$\alpha_1 = 1 - \left[ F_r \left( \frac{\bar{x} - x'_1}{s}, n \right) \right]^n , \quad (4.37)$$

$$\alpha_2 = 1 - \left[ F_r \left( \frac{x'_n - \bar{x}}{s}, n \right) \right]^n \quad (4.38)$$

porovnává s hladinou významnosti a podle toho se ev. vyloučují takové  $x_i$ , která jsou např. v důsledku chyby snímače špatně zobrazena anebo vůbec k základnímu souboru nepatří.

#### Operátor 4.

Provádí třídění vstupních hodnot. Počet tříd se volí

$$m = 3,322 \log n + L , \quad (4.39)$$

kde  $L$  se vybírá náhodně z čísel 1,2,.....,6. Je nutné upozornit na to, že  $n$  je již zmenšeno o počet vyloučených  $x_i$  (nikoliv však na symbolické adrese N), takže např. pod  $x'_1$  neoznačují dále první hodnotu  $x'_1$  na vstupu, ale nejmenší nevyloučenou hodnotu  $x_i$  (podobně  $x'_n$ ). Pak šířka tříd je dána vztahem

$$h = \frac{x'_n - x'_1}{m - 1} , \quad (4.40)$$

hranice tříd

$$r_j = r_{j-1} + h , \quad r_0 = x'_1 - h/2 \quad (4.41)$$

a středy tříd

$$s_j = (r_j + r_{j-1})/2 . \quad (4.42)$$

Operátor 5.

Provádí výpočet absolutních třídních četností  $c_j$ .

Operátor 6.

Volí počátek  $y_0$  pro nové proměnné

$$y_j = \left( \frac{s_j}{d} - y_0 \right) / h \quad (4.43)$$

a počítá pomocné hodnoty

$$\sum_{j=1}^m c_j y_j \quad , \quad \sum_{j=1}^m c_j y_j^2 \quad . \quad (4.44)$$

Operátor 7.

Počítá aritmetický průměr a směrodatnou odchylku tříděných dat :

$$\bar{x} = \frac{1}{n} \sum_{j=1}^m c_j y_j + y_0 \quad , \quad (4.45)$$

$$s^2 = \frac{h^2 \left( \sum_{j=1}^m c_j y_j^2 - \bar{y} \sum_{j=1}^m c_j y_j \right)}{\sum_{j=1}^m c_j y_j - 1} - \frac{h^2}{12} \quad . \quad (4.46)$$

Operátor 8.

Počítá očekávané četnosti  $n \tilde{p}_j$ , kde

$$\tilde{p}_j = \Phi \left( \frac{r_j - \bar{x}}{s} \right) - \Phi \left( \frac{r_{j-1} - \bar{x}}{s} \right) \quad . \quad (4.47)$$

Je-li alespoň jedno  $n \tilde{p}_j < 1$  nebo  $20\% \text{ všech } n \tilde{p}_j < 5$ , nedoporučuje se  $\chi^2$ -testu používat. Pro tento případ je v podprogramu přechod zpět k operátoru 4, kde se prověřuje nové třídění s menším počtem tříd, abychom dosáhli vyšších třídních četností.

Operátor 9.

Počíté  $\chi^2_{kriterium}$  ze vztahu :

$$\chi^2_{kriterium} = \sum_{j=1}^m \frac{(c_j - n \cdot \tilde{p}_j)^2}{n \cdot \tilde{p}_j} \quad (4.48)$$

a pravděpodobnost  $\alpha'$  ze vztahu :

$$\alpha' = F_{\chi^2} (\chi^2_{kriterium}, m - 3) \quad (4.49)$$

porovnává se zadanou hladinou významnosti testu. Výsledek testu se ukládá na PLATI.

Operátor 10.

Aby se vyloučil vliv počtu tříd na výsledek testu, celý postup od operátora 4 se opakuje s jiným počtem tříd podle náhodně vybraného  $L$ . Ze šesti možností, které pro třídění podprogram CHITES připouští, se postup opakuje maximálně 3x, přičemž mohou nastat tyto možnosti :

1. ani jedno třídění nedalo výsledky splňující podmínky doporučení pro používání  $\chi^2$ -testu. Výhodnější jsou jiné testy. Na obou logických výstupních proměnných je .FALSE.
2. bylo nalezeno jen jedno třídění splňující podmínky použití  $\chi^2$ -testu a jeho výsledek je uložen na PLATI a na ROZ je .TRUE.
3. byla nalezena jen dvě třídění splňující podmínky použití  $\chi^2$ -testu. Pak pokud výsledky testu jsou shodné, ten samý výsledek je uložen na PLATI a na ROZ je .TRUE.. V opačném případě je výsledek testu nejistý, na obě logické proměnné se ukládá .FALSE. a je třeba použít buď jiného testu, nebo alespoň vzít jinou hladinu významnosti.
4. byla provedena právě dvě třídění, ale nebyly vyčerpány ještě všechny možnosti volby  $L$ . Pak je-li výsledek obou tes-

tú shodný, ukládá se na PLATI a v opačném případě se na PLATI ukládá výsledek třetího testu. Na ROZ je v každém případě TRUE.

$\chi^2$ -test v uvedené verzi splní v mnoha případech i další účely, je však komplikovaný a ne vždy je vhodný. Chceme-li se snadno a rychle přesvědčit o normalitě základního souboru v případě, kdy  $n$  je relativně malé, lze s výhodou použít testu Kolmogorov-Smirnovova, kde testovacím kriteriem je v absolutní hodnotě největší rozdíl mezi očekávanou a experimentální kumulativní četností dělenou rozsahem souboru.

V uvedené verzi je zpracován jako vnější funkce s identifikátorem KTEST typu LOGICAL, na který se ukládá výsledek testu (str. 74-5). V uvedené verzi je hledina významnosti testu určena předem 0,05, počet tříd také. Zájemnou konstantou v LINE 71 (1,63 místo 1,36) dochází ke změně hlediny významnosti na 0,01. Postup výpočtu je patrný z výpisu zdrojového programu.

Všechny uvedené podprogramy jsou předkompilovány na MT (na MINSK 22 do SADRu nebo strojového kódu s relativními adresami - LINKu) a podle potřeby připojovány k hlavní programové jednotce pro řešení konkrétní úlohy. Na MT je předkompilována celá řada dalších podprogramů, sestavených za podobným účelem, na které se však v práci speciálně neodvolávám, a proto nepovažuji za nutné tyto podprogramy uvádět. Je úplně nepodstatné, jak vypadaly hlavní programové jednotky při řešení uvedených příkladů (ostatně byly již ve FEL-FORTRANu), ani jakým způsobem byly hledány např. kořeny transcendentních rovnic uvedených v kap. 3. Stačí vycházet z toho, že integrální funkce rozdelení jsou monotonní (v našich případech ryze) a k cíli se dostaneme i půlením intervalu. Rovněž tak modifikovat např. uvedený podprogram KTEST na jiný typ rozdelení nebo jinou

line	reladr	fortran source program
1	0	c test normality kolmogorov-smirnov
2	0	0
3	0	logical function kstest(x,n,tisk)
4	0	integer tisk
5	0	dimension x(n)
6	0	write(tisk,20)
7	40	
8	43	
9	43	c setrideni posloupnosti
10	45	
11	45	m=n-1
12	47	do 1 i=1,n
13	50	l=1
14	51	3 k=l+1
15	53	if (x(l)-x(k))1,1,2
16	74	2 change=x(k)
17	103	x(k)=x(l)
18	120	x(l)=change
19	126	l=l-1
20	127	if (l)1,1,3
21	132	1 continue
22	132	
23	132	c prumer a odchylka
24	135	
25	135	s1=0.
26	136	s2=0.
27	137	do 4 i=1,n
28	140	s1=s1+x(i)
29	147	4 s2=s2+x(i)**2
30	163	ap=s1/float(n)
31	170	sd=sqrt((s2-float(r)*
32	172	/ap**2)/float(n-1))
33	212	
34	212	c trideni, vypocet cestnosti
35	213	
36	213	m=if ix(3.322*log10(float(n))+1.5)
37	225	h=(x(n)-x(1))/float(m-1)
38	253	write(tisk,21)
39	260	xv=ap-float(ix(ap))
40	270	j=1
41	271	r=x(1)+h/2.
42	301	dkrit=0.
43	302	k=0
44	303	do 11 i=1,n
45	304	if (x(i)-r)11,12,13
46	315	12 k=k+1
47	316	go to 11
48	317	13 nc=i-1-k
49	321	if (k)8,8,15
50	324	15 do 14 l=1,k

```
51    325      xv=(3.14159265+xv)**8
52    331      xv=xv-float(if ix(xv))
53    340      if (xv.lt.0.5)nc=nc+1
54    344      14 continue
55    347      8 rcf=flg((r-ap)/sd)*float(n)
56    360      roz=abs(rc-float(nc))
57    366      if (roz.gt.dkrit)dkrit=roz
58    372      write(tisk,22)j,nc,rc,roz
59    410      j=j+1
60    411      if (j-m)7,6,5
61    414      6 nc=n
62    415      r=r+h
63    416      go to 8
64    417      7 r=r+h
65    420      k=0
66    421      11 continue
67    421
68    421 c     vysledek testu
69    424
70    424      5 ktest=:true.
71    425      1f (dkrit.ge.1.36*sqrt(float(n)))
72    425      /ktest=.false.
73    437
74    437 c     format.specifikace
75    440
76    440      20 format(//4x,35hprotokol o testu kol
77    440      /mogorov-smirnov/4x,35(1h=)//)
78    473      21 format(4x,5hc.tr.,2x,11hexp.cetnost,
79    473      /2x,12hcek.cetnost,4x,6hrozdit/4x,
80    473      /42(1i-))
81    532      22 format(19,113,f14.4,f10.4)
82    554
83    554      return
84    555      end
85    555
86    555      mon
```

number of errors none  
program unit inserted

hledinu významnosti je již jednoduché rutinní programátor-ské práce.

#### 4.4 Řešení ostatních úloh

I když se zdá, že tato okrajová 4.kapitola zaujímá nejméně velkou část práce, je imperativní pro řešení konkrétních příkladů a stává se tím stejně důležitou jako cokoli v ostatního v práci.

Pochopitelně pokud to jde, řeší se úlohy analyticky. Tak např. integrál ve jmenovateli vztahu (3.79) lze přepsat do tvaru

$$I = \int_{-\infty}^{\infty} [\Phi(kx-a) - \Phi(kx-b)] dx = \frac{b-a}{k}, \quad (4.50)$$

$k > 0, a < b$ , což si lze ověřit substitucí  $x = [y + (a+b)/2]/k$  a integrací per partes.

To lze ukázet i obecněji, pro rozdelení kde existuje střední hodnota (ne však např. pro rozdelení Cauchyovo). Analyticky lze provést výpočet i pro případ, kdy integrand je ve tvaru  $\phi \cdot \phi_{\infty}$  (součin Gaussovy a Gaussovy-Laplaceovy funkce).

Již při řešení vztahu (3.78), když  $f_\mu$  je déno vztahem (3.80) a  $f_\mu(\mu)$  vztahem (3.79) lze považovat numerické řešení na první pohled za rozumné. V podstatě jde o výpočet integrálu ve tvaru

$$I_1 = \frac{1}{K} \int_{-\infty}^{\infty} [\Phi_{-\infty}(kx-a) - \Phi_{-\infty}(kx-b)] \times \\ \times [\Phi_{q_k}(q_k x - c) - \Phi_{q_k}(q_k x - d)] dx, \quad (4.51)$$

$a < b, c < d, K, k, q_k > 0$ . Při numerickém řešení se navíc použijí dvě další programové jednotky. První pro numerickou integraci, kde jedním z formálních parametrů je integrand a druhé programová jednotka definující integrand, přičemž identifikátor této vnější funkce se dosazuje za formální parametr programové jednotky pro numerickou integraci a je tedy v po-pisu EXTERNAL. Základem výpočtu je pochopitelně FLG7. Problém

je pouze v nevlastních mezích integrování. Je-li ovšem pro malé  $\epsilon$

$$I_1 - \frac{1}{K} \int_A^B [\phi_{-\infty}(kx-a) - \phi_{-\infty}(kx-b)] + [\phi_{-\infty}(q_k x-c) - \phi_{-\infty}(q_k x-d)] dx < \epsilon \quad (4.51)$$

pak stačí, když

$$\epsilon/2 < \frac{1}{kK} \left[ \phi'(b-kA) + (b-kA) \phi(b-kA) \right]_{-\infty}, \quad (4.53)$$

nebo

$$\epsilon/2 < \frac{1}{kK} \left[ \phi'(d-q_k A) + (d-q_k A) \phi(d-q_k A) \right] \quad (4.54)$$

a

$$\epsilon/2 < \frac{1}{kK} \left[ \phi'(kB-a) + (kB-a) \phi(kB-a) \right]_{-\infty}, \quad (4.55)$$

nebo

$$\epsilon/2 < \frac{1}{kK} \left[ \phi'(q_k B-c) + (q_k B-c) \phi(q_k B-c) \right]_{-\infty}. \quad (4.56)$$

Přitom je nutné si stále klást otázku, zda neexistuje nějaká cesta vedoucí k vyjádření  $I_1$  pomocí Gaussovy a Gaussovy-Laplaceovy funkce. Byť by byl výsledný vztek sebekomplikovanější, je stále výhodnější než numerické řešení integrálu  $I_1$ . A speciálně v tomto případě lze  $I_1$  vyjádřit pomocí  $\phi_{-\infty}$  a  $\phi'$ . Dovoluji se zde presentovat řešení KMA VŠST.

Jsou-li  $w$  a  $v$  nezávislé s rozdělením  $N(0, 1)$ , pak

$$KI_1 = \int_{-\infty}^{\infty} P\{kx - b < w < kx - a\} \times \\ \times P\{q_k x - d < v < q_k x - c\} dx. \quad (4.57)$$

Uvážíme-li, že

$$P\{kx - b < w < kx - a\} = \frac{1}{\sqrt{2\pi}} \int_a^b e^{-\frac{1}{2}(kx-y)^2} dy, \quad (4.58)$$

bude

$$KI_1 = \frac{1}{2\pi} \int_a^{\infty} dx \int_c^d dw \int_a^b e^{-\frac{1}{2}[(kx-w)^2 - (q_k x - v)^2]} dv. \quad (4.59)$$

Protože

$$(kx - w)^2 + (q_k x - v)^2 = \\ = (k^2 + q_k^2) \left[ \left( x - \frac{kw + q_k v}{k^2 + q_k^2} \right)^2 + \frac{w^2 + v^2}{k^2 + q_k^2} - \left( \frac{kw + q_k v}{k^2 + q_k^2} \right)^2 \right], \quad (4.60)$$

tak pomocí substituce

$$y = \sqrt{k^2 + q_k^2} \left( x - \frac{kw + q_k v}{k^2 + q_k^2} \right) \quad (4.61)$$

dostaneme

$$KI_1 = \frac{1}{\sqrt{2\pi} \sqrt{k^2 + q_k^2}} \int_a^b \int_c^d e^{-\frac{1}{2} \frac{(wq_k - kv)^2}{k^2 + q_k^2}} dv = \\ = \frac{1}{q_k} \int_c^d \left[ \Phi \left( \frac{bq_k - vk}{\sqrt{k^2 + q_k^2}} \right) - \Phi \left( \frac{aq_k - vk}{\sqrt{k^2 + q_k^2}} \right) \right] dv = I_1'(b) - I_1'(a), \quad (4.62)$$

$$I_1'(b) = \frac{1}{q_k} \int_c^d \Phi_{-\infty} \left( \frac{bq_k - rk}{\sqrt{k^2 + q_k^2}} \right) dr =$$

$$= \frac{\sqrt{k^2 + q_k^2}}{kq_k} \left[ y \Phi_{-\infty} \left| \begin{array}{l} (bq_k - ck)/\sqrt{k^2 + q_k^2} \\ (bq_k - dk)/\sqrt{k^2 + q_k^2} \end{array} \right. \right. +$$

$$\left. \left. + \Phi'(y) \right| \begin{array}{l} (bq_k - ck)/\sqrt{k^2 + q_k^2} \\ (bq_k - dk)/\sqrt{k^2 + q_k^2} \end{array} \right. =$$

$$= \frac{\sqrt{k^2 + q_k^2}}{kq_k} \left[ \frac{bq_k - ck}{\sqrt{k^2 + q_k^2}} \Phi_{-\infty} \left( \frac{bq_k - ck}{\sqrt{k^2 + q_k^2}} \right) - \frac{bq_k - dk}{\sqrt{k^2 + q_k^2}} \Phi_{-\infty} \left( \frac{bq_k - dk}{\sqrt{k^2 + q_k^2}} \right) + \right.$$

$$\left. + \Phi' \left( \frac{bq_k - ck}{\sqrt{k^2 + q_k^2}} \right) - \Phi' \left( \frac{bq_k - dk}{\sqrt{k^2 + q_k^2}} \right) \right]. \quad (4.63)$$

S ohledem na možné tvary funkcí  $f_u$  a  $f_u'$  však ve většině případů jedinou cestou vedoucí k řešení je numerické integrování, které s pomocí uvedených podprogramů lze snadno provést tak, jak bylo uvedeno před analytickým řešením tohoto konkrétního příkladu.

## 5. PŘÍKLADY

Gaussovo-Laplaceovo rozdělení pravděpodobnosti je limitním rozdělením pravděpodobnosti. Praktické podmínky vzniku výrobních chyb se v jistém smyslu přibližují teoretickým podmínkám platnosti Gaussova-Laplaceova rozdělení, ovšem již ve 2.kapitole uvedené "nenormálnosti ve výrobním procesu" jsou příčinou odchylek skutečných rozdělení pravděpodobnosti výrobních chyb od Gaussova-Laplaceova. N.A.Borodačev doslova řekl, že "shoda, nebo lépe řečeno přiblížení se ke Gaussovu-Laplaceovu rozdělení je jedním z objektivních kriterií v boji za zvýšení jakosti výroby".

V mnoha případech se lze skutečně přesvědčit o tom, že výrobní chyby v rozměrech součástí jedné serie (při jednom seřízení) podléhají Gaussovu-Laplaceovu rozdělení, ovšem výrobní chyby v rozměrech na montáži náhodně vybíraných součástí nikoliv. Příčiny lze spatřovat právě v nepřesnostech při seřizování.

Jeden takový příklad uvádí v příloze I/1-5. Jedná se o 4 součásti, které tvoří rozměrovou vazbu. Na výpisu ze širokořádkové tiskárny číslicového počítače znamenají jednotlivé členy (Item 1 - 4) držák otočného čepu-otočný čep-kroužek tlačného ložiska-tlačné ložisko u spojení přední nápravy autobusu. V pravé části výpisu jsou pak pomocí znaku X zakresleny histogramy četnosti a pomocí vyplňených šipek dokreslena předepsané toleranční pole. Na první pohled je patrné, že lze očekávat značné odchylky od Gaussova-Laplaceova rozdělení, přičemž navíc předepsané tolerance nejsou ve výrobě dodržovány. Sledujme nejprve všechny součásti v jejich celku,

v jejich spojení. Jsou-li předepsané tolerance  $\delta$  na jednotlivých součástech v pořadí uvedení 0,1 a třikrát 0,05, odpovídá tomu podle metody maxima-minima předepsaná tolerance spojení 0,25 (viz příloha I/5 :  $\Delta_x = \delta_x = 0,25$ ). Např. u 1. členu však na základě uvedeného histogramu četnosti můžeme odhadnout, že více než 25% součástí je mimo předepsané toleranční pole (analogicky lze odhady provést u ostatních členů). Je otázkou, jakou výslednou přesnost lze u spojení těchto součástí očekávat.

Výpočet výsledné přesnosti spojení byl proveden pochopitelně statistickou metodou approximací nekonečnou Edgeworthovou řadou. Výsledky výpočtu jsou uvedeny na výpisu ze širokořádkové tiskárny v příloze I/5. Je patrné, že lze v průměru zhruba u 4% spojení očekávat větší vůli než je předepsaná a že je velmi málo pravděpodobný přesah ve spojení. Praxe tento závěr potvrdila, neboť bylo třeba vyrábět tenké planžety, pomocí kterých se vymezovala vůle u nevyhovujících spojení. Montážní proces se tím prodražuje, neboť po montáži musí následovat proměření, u nevyhovujících spojení pak demontáž, vložení planžet a opět montáž. Navíc je třeba vyrábět tenké regulační kroužky. Je však namísto tvrzení, že takové zvýšení nákladovosti při montáži (a v důsledku výroby regulačních kroužků i ve výrobě dílů) je zbytečné. Stačí totiž aplikovat elementární zásady uvedené v předcházejících kapitolách a dosáhneme tím žádoucího výsledku.

Z histogramu četnosti držáku otočného čepu (viz příloha I/1 a obr. 1) je totiž patrné, že se jedná o mechanické smíchání řad vyrobených při různé úrovni seřízení stroje. Jsme schopni na daném stroji při přesném seřizování dodržet i toleranci 0,2, máme dokonce i zásobu přesnosti, i když není dodržení

absolutně nutné (to plyne z rozdílu mezi statistickou metodou a metodou maxima-minima). V tomto smyslu tedy stačí vytýcit požadavek na dodržování technologické kázně.

Často se pracovníci v průmyslu brání aplikaci metod teorie pravděpodobnosti a matematické statistiky, je jim nepříjemné tvrzení, že věho lze dosáhnout jen s jistou pravděpodobností. Ovšem statistické metody působí automaticky, byť si to mnohdy ani neuvědomujeme. Klasickým případem je např. 100% kontrola. Je mylné spojovat ji s teoretickou operativní charakteristikou ve tvaru lomené čáry, neboť i při měření se dopouštíme vždy chyb, které jsou také náhodnými veličinami a v jejich důsledku vždy existuje jistá pravděpodobnost, že např. dobrou součást zařadíme mezi vedené a naopak. Můžeme tedy na 100% kontrolu nahlížet jako na speciální případ statistické přejímky. Na uvedeném příkladě je vidět, že právě na základě rozporu mezi konstruktérem použité metody maxima-minima a skutečností viděné z pozic teorie pravděpodobnosti a matematické statistiky není třeba s ohledem na výslednou přesnost spojení dodržovat ve výrobě předepsané tolerance, stačí udržovat procesy obrábění v rámci vypočtených zásob přesnosti. N.A. Borodačev již před 30 lety napsal, že "odpůrci pravděpodobnostní metody argumentují tím, že předepsané tolerance se ve výrobě notoricky nedodržují a přísná metoda maxima-minima toto kompensuje". Když tedy víme, že předepsanou toleranci ve výrobě nedodrží, předepíšeme pro jistotu např. poloviční toleranci, což je v principu předcházející argument vyjádřený jinými slovy. To je pochopitelně absurdní, do jisté míry i negace jakosti. Když již totiž nedodržení předepsané tolerance jednou připustíme, tak nemůžeme a priori říci, v jaké míře bude tolerance nedodržena a ve svých důsledcích to povede ke zvýšení

nákladovosti výroby jako třeba v uvedeném příkladě.

Již na počátku 30.let existovaly v SSSR dvě školy v oblasti teorie přesnosti výroby. První, tzv. statistická škola zkoumala přesnost výroby na základě velkých výběrů z výsledného rozdělení pravděpodobnosti. Postupně se však prosazovala tzv. výpočtově-analytická škola prof. Sokolovského. V mnohých případech skutečně čistě statistický přístup může zakrýt podstatu věci. Opět to lze demonstrovat na uvedeném příkladě. U jednotlivých součástí disponujeme náhodnými výběry z výsledného rozdělení pravděpodobnosti. Když tedy praktické podmínky tvorby výrobních chyb při obrábění velkých serií součástí se přibližují teoretickým podmínkám plstnosti Gaussova-Laplaceova rozdělení, tak testujme hypotézy o normalitách základních souborů.

V příloze II/l-2 je uveden protokol o  $\chi^2$ -testu hypotézy o normalitě základního souboru (podprogram CHITES). Jak je vidět z přiloženého výpisu, tak obrezně řečeno "algoritmus výpočtu při testování byl na rozpacích", zda danou hypotézu přijmout či nikoliv. Nakonec však hypotézu na dané hladině významnosti přijímáme. Když ovšem přiblížení se ke Gaussovou-Laplaceovu rozdělení je jedním z objektivních kriterií jakosti výroby, mohl by vzniknout mylný dojem, že je vše v pořádku, že totiž v žádoucí míře využíváme dosažitelné přesnosti a když je nutné vyrábět přesněji, potřebujeme k tomu lepší obráběcí stroj, přinejhorším nástroj. To však není pravda, stačí provést analýzu seřízení (viz. obr.1).

Výsledná normalita rozdělení odpovídá případu, kdy uvažovaný proces je stabilní (stacionární). V předcházející kapitole byl popsán iterační test, který je citlivý na porušení této podmínky. Všimněme si nyní histogramu četnosti u 4.členu-tlačného

ložiska. Vzniká otázka, co je příčinou výrazné odchylky od normality. V podstatě lze říci, že mohou být tři příčiny :

1. kdyby se jednalo o výběr jedné realizace, pak je proces nestacionérní a trend seřízení je progresivní. Na to je test náhodnosti citlivý,
2. během realizace došlo k náhlé změně seřízení a to na kraji realizace. To však iteračním testem nemusíme postihnout, neboť na tuto nenormalitu je nejcitlivější v polovině procesu,
3. jedná se o mechanické smíchání dvou realizací při různé úrovni seřízení, přičemž obě realizace reprezentují velmi rozdílné objemy součástí.

Pod bodem 2 uvedená nenormálnost je problémem spolehlivosti procesu a stejně jako nenormálnost uvedenou pod bodem 3 snadno odhalíme na základě tzv. vychýlených pozorování. V příloze II/3-4 je opět uveden protokol o  $\chi^2$ -testu normality tohoto základního souboru. Je vidět, že byly z náhodného výběru vyloučeny hodnoty, které při platnosti normality základního souboru jsou ve výběru omylem a které odpovídají realizaci s malým objemem součástí nebo součstem, vyrobeným před nebo po náhlé změně seřízení na kraji časového intervalu.

Až dosud bylo na nenormality procesu obrábění upozorněno nejprve na základě rozborů histogramů četnosti. Statistické metody však zpravidla vyžadují v důsledku obtížnosti zpracování velkého počtu dat využití číslicového počítače. Přitom byla vyvinuta různá zařízení pro automatické snímání dat během daného procesu, která se pak pomocí analogo-číslicového převodníku převádějí na vstup automatizovaného zpracování pomocí číslicového počítače. Do znamená zabudovat přímo do algoritmu testy, které jsou citlivé na jednotlivé nenormálnosti.

tab. II

### iteracni test nahodnosti

vstupní soubor:

tarex 52-stredovy hridel-01/1

.47000e 02	.52000e 02	.44000e 02	.54000e 02	.60000e 02
.43000e 02	.47000e 02	.52000e 02	.50000e 02	.40000e 02
.45000e 02	.60000e 02	.45000e 02	.50000e 02	.44000e 02
.62000e 02	.45000e 02	.60000e 02	.41000e 02	.64000e 02
.50000e 02	.43000e 02	.50000e 02	.46000e 02	.46000e 02
.42000e 02	.52000e 02	.46000e 02	.51000e 02	.40000e 02
.50000e 02	.48000e 02	.58000e 02	.47000e 02	.42000e 02
.50000e 02	.53000e 02	.62000e 02	.47000e 02	.46000e 02
.56000e 02	.57000e 02	.47000e 02	.55000e 02	.54000e 02
.47000e 02	.49000e 02	.50000e 02		

pocet prvků souboru: 48

### výsledky podprogramu itetes:

1. hladina vyznamnosti testu: 0.10
  2. typ testu:citlivy na maly pocet iteraci

výstědek testu:: t

Proto dále neinterpretuji vstup graficky, ale jen v číslené formě vstupního souboru, jehož hodnoty v dané posloupnosti pořadících tvoří známý přesnostní diagram - grafickou interpretaci realizace náhodného procesu obrábění.

Uvádíme příklad obrábění středových hřídelů, přičemž vstupní údaje jsem převzal z /16/. Ty pak dále zpracovávám pomocí metod uvedených v předkládané práci. Zpracování bylo provedeno na počítači MINSK 22 a výsledky jsou patrné z tab.

V tab. II jsou uvedeny výsledky testu náhodnosti na hladině 0,1. V příloze III je pak protokol o mezivýsledcích testu.

tab. III

test normality kolmogorov-smirnov  
=====

vstupni soubor:

tarex 52-stredovy hridel-op.01/1

.47000e 02	.52000e 02	.44000e 02	.54000e 02	.60000e 02
.43000e 02	.47000e 02	.52000e 02	.50000e 02	.40000e 02
.45000e 02	.60000e 02	.45000e 02	.50000e 02	.44000e 02
.62000e 02	.45000e 02	.60000e 02	.41000e 02	.64000e 02
.50000e 02	.46000e 02	.50000e 02	.46000e 02	.46000e 02
.42000e 02	.52000e 02	.46000e 02	.51000e 02	.40000e 02
.50000e 02	.48000e 02	.58000e 02	.47000e 02	.49000e 02
.50000e 02	.53000e 02	.62000e 02	.47000e 02	.49000e 02
.56000e 02	.57000e 02	.47000e 02	.55000e 02	.46000e 02
.47000e 02	.49000e 02	.50000e 02		

pocet prvku souboru: 48

protokol o testu kolmogorov-smirnov  
=====

c.tr.	exp.cetnost	ocek.cetnost	rozdil
1	3	4.4086	1.4086
2	12	12.1759	0.1759
3	26	24.0665	1.9335
4	36	35.9306	0.0694
5	41	43.6461	2.6461
6	47	46.9155	0.0845
7	48	47.8176	0.1824

vysledek testu: t

+++++-----

Z výsledků je patrné, že nemáme důvod pro zamítnutí stacionarity procesu.

V tab. III jsou výsledky testu normality včetně protokolu o mezivýsledcích testu. Pokud se používá celé řada předkompi-lovaných podprogramů v hlavní programové jednotce, tak s ohledem na kapacitu operační paměti MINSK 22 jsem volil jednodušší test Kolmogorov-Smirnovův. Na základě získaných výsledků uvažuji silně stacionérní nekorelovaný Gaussovský proces.

tab. IV

serizovaci protokol:

=====

poloha stredu predepsaneho tolerancniho pole:	45.00000
polovina absolutni velikosti tolerancniho pole:	5.00000
smerodatna odchylnka zakladniho n-souboru:	6.00000
pokryty podil zakladniho souboru: 0.9900000	
pravdepodobnost pokryti daneho poditu: 0.9000000	

+++chybi zasoba presnosti-proces netze realizovat+++

+++end sepr n1+++

V tab.IV jsou uvedeny nejprve požadované parametry přesnosti a výsledek, totiž že chybí zásoba přesnosti a tedy v důsledku velkého rozptylu nemůže být požadované přesnosti dosaženo.

V uvedeném pořadí je nutné celý postup analýzy provádět. Současně je však třeba podotknout, že se jedná o část konce realizace a jak bude patrné dále, tak příliš velký rozptyl "překrývá" v testu náhodnosti trend střední hodnoty. V důsledku otupení nástroje měl být proces již dévno přerušen a měla být provedena výměna řezného nástroje.

V tab.V uvedený vstupní soubor v posloupnosti prvků po řádcích představuje realizaci daného procesu od počátku časové osy (tedy v grafickém vyjádření přesnostní diagram). Je to tedy realizace po počítačním seřízení s nově naostřeným nástrojem. V této tabulce jsou pak uvedeny nejdůležitější mezivýsledky výpočtu pomocí číslicového počítače.

vstupni soubor:

tab.V

tarex 52-stredovy hridel op.01/1-zmena

.43000e 02	.46000e 02	.43000e 02	.45000e 02	.45000e 02
.43000e 02	.46000e 02	.43000e 02	.46000e 02	.45000e 02
.45000e 02	.47000e 02	.46000e 02	.47000e 02	.45000e 02
.49000e 02	.47000e 02	.49000e 02	.49000e 02	.46000e 02
.50000e 02	.48500e 02	.50000e 02	.52000e 02	.47000e 02
.53000e 02	.51000e 02	.50000e 02	.52000e 02	.52000e 02
.53000e 02	.50000e 02	.52500e 02	.53000e 02	.52000e 02
.53000e 02	.52000e 02	.52000e 02	.54000e 02	.53000e 02
.53000e 02	.53000e 02	.53000e 02	.52000e 02	.55000e 02
.57000e 02				

vysledek itefes: f

linearni trend na (0,1):

.435588259e 02+ .130423486e 02.t

lin.trend-vys.itefes: t

test kolmogorov-smirnov (normalita): t

davka na serizeni:100 ks

opraveny trend na (0,1):

.435588259e 02+ .263508674e 02.t

sigma : .130295056e 01

lambda: .101119981e 02

tolerancni pole: .44999999e 02+ .500000000e 01  
- .500000000e 01

koef.zasoby presnosti: .250000000e 00

pokryty podil gama: .989999998e 00

opraveny koef.zas.presnosti: .250000000e 00

regulace procesu: 0.13223  
(t.j.zhruba po 14 ks)

pokrač.tab.V

koef.zasoby presnosti: .20000000e 00  
pokryty podil gama: .98999998e 00  
opraveny koef.zas.presnosti: .20000000e 00

regulace procesu: 0.15870  
(t.j.zhruba po 17 ks)

=====

koef.zasoby presnosti: .15000000e 00  
pokryty podil gama: .98999998e 00  
opraveny koef.zas.presnosti: .15000000e 00

regulace procesu: 0.18238  
(t.j.zhruba po 19 ks)

=====

koef.zasoby presnosti: .10000000e 00  
pokryty podil gama: .98999998e 00  
opraveny koef.zas.presnosti: .10000000e 00

regulace procesu: 0.20183  
(t.j.zhruba po 21 ks)

=====

koef.zasoby presnosti: .50000000e-01  
pokryty podil gama: .98999998e 00  
opraveny koef.zas.presnosti: .50000000e-01

regulace procesu: 0.21477  
(t.j.zhruba po 22 ks)

=====

tolerancni pole: .44999999e 02+ .10000000e 02  
- .10000000e 02

koef.zasoby presnosti: .10000000e 00  
pokryty podil gama: .98999998e 00  
opraveny koef.zas.presnosti: .10000000e 00

regulace procesu: 0.60330  
(t.j.zhruba po 61 ks)

V prvním kroku byl pomocí podprogramu ITETES proveden test náhodnosti. Jeho výsledek je „FALSE“. V dalším kroku je proto provedeno vyrovnaní realizace lineárním trendem s transformací na fiktivní časový interval  $(0,1)$ . Je úplně jedno, kde volím počátek časové osy a jak velkou volím časovou jednotku, takže obojí volím tak, aby výpočet byl nejjednodušší za nejobecnějších podmínek. Tedy výsledek je přibližně  $\mu(t) = 43,56 + 13,4 \cdot t$ . Znovu opakuji test náhodnosti, ale již s odchylkami  $\xi(t) - \bar{\xi}(t)$ , jehož výsledek je „TRUE“. Pak je reálný i předpoklad o okamžité normalitě. Použitý test Kolmogorov-Smirnovův dává výsledek „TRUE“. Uvažuji tedy nekorelovaný proces s trendem úrovňě seřízení podle (3.21).

Dále je v příkladu uvedena extrapolace do děvky seřízení 100 ks (po 100 ks výměna nástroje). Tím ovšem trend úrovně seřízení transformuji na nový interval  $(0,1)$  s výsledkem  $\mu(t) = 43,56 + 23,35 \cdot t$ . Dále  $\sigma_0 = 1,3$  a parametr  $\lambda = 10,11$ . Došlo tedy k očekávanému podstatnému snížení rozptylu okamžitého rozdělení, ovšem v důsledku nadměrného opotřebovávání nástroje (v poměru ku  $\sigma_0$ ) nemohu splnit s ohledem na délku realizace požadované parametry přesnosti ( $\Delta = 45$ ,  $\delta = 5$ ,  $f = 0,99$ ). Jedinou cestou je regulace takového procesu podle obr.5.

Pro různá  $z_f$  jsou výsledky řešení transcendentní rovnice (3.69) uvedeny v tab.V a přehledně zaznamenány a doplněny v tab.VI. Hodnota uvedená za textem "regulace procesu" znamená v tab.V hodnotu  $\Delta t$ .

Z tab.VI je patrné, že čím větší chceme mít zásobu přesnosti, tím častěji je nutné proces regulovat. Když např. zásobu přesnosti využitelnou pro nepřesnosti v seřízení chceme mít

$\delta$	$z_r$	$\lambda_r$	$1/\Delta t$	$\inf z_r$	$\sup z_r$
5,0	0,25	1,3371	7,5626	42,0078	44,5078
5,0	0,20	1,6048	6,3012	41,9090	43,9090
5,0	0,15	1,8442	5,4831	41,8471	43,3471
5,0	0,10	2,0409	4,9547	41,8408	42,8408
5,0	0,05	2,1718	4,6561	41,9203	42,4203
10,0	0,10	6,1006	1,6576	36,0512	38,0512

25% šířky tolerančního pole, musel by být proces přerušen po obrobení každého 14 ks a provedeno přeseržení. Ovšem nepřipadá v úvahu, že by se po každém 14 ks prověděla nezávislá seřizování. Jednak proto, že bychom pro statistickou analýzu úrovně seřízení spotřebovali většinu častečné realizace, ve které by se tedy s velkou vahou projevoval trend střední hodnoty. Když prof. Sokolovský teoreticky analyzoval trend úrovně seřizení, tak dospěl k názoru, že  $\mu(t)$  má v první fázi velmi mírně opačný trend. Lze si to vysvětlit tím, že v této fázi je opotřebení kompensováno tepelnou dilatací nástroje až do ustálení tepelného režimu. A právě v této fázi by statistická analýza podle již popsaných a demostrovaných metod mohla být provedena, ovšem s tím, že v časových okamžicích  $t = k \cdot \Delta t$ , ( $k = 1, 2, \dots$ ) by se provědělo přeseržení o hodnotu 26,35 t. Ale vzhledem k velmi častému přeseržení by bylo vhodné provědět jej automaticky. O tom, že i tato cesta se prakticky používá svědčí práce Ju. M. Solomenceva ("Avtomatizacija razměrnoj nastrojki i perenastrojki metallorežuščich stankov"). Používá se však

pouze v těch případech, kdy je to nezbytně nutné. K tomu je potřeba konstruovat speciální zařízení a snad u nás výhledově budou taková zařízení v laboratorních podmínkách zkonztruována.

Z tab. VI je patrné, že úspěch nepřináší ani podstatné zmenšení zásoby přesnosti. Délka částečných realizací se zvětšuje ( $1/\Delta t$ , což udává počet přešerizení, klesá), ale ne podstatně, neboť v důsledku malé zásoby přesnosti se zvyšují požadavky na statistickou analýzu seřízení, kdy zase pro stejně kvalitní rozhodnutí je třeba zvyšovat rozsahy náhodných výberů.

Na základě výše řečeného by však bylo velmi nesprávně tvrzení, že požadované přesnosti nelze na daném stroji dosáhnout, nebo jen ze cenu neúnosných opatření. Naopak, na stroji jako takovém lze požadované přesnosti dosáhnout, ale nevyhovující je vzhledem k požadované přesnosti nástroj. Takže v první řadě by bylo nutné prověřit možnosti změny geometrie nástroje a řezných podmínek a jestile ani pak nedosáhneme žádoucích výsledků, musíme hledat jiný, proti opotřebení odolnější řezný materiál.

Další možnost řešení tohoto problému vyplývá přímo z prvního příkladu. Totiž když sledované výrobní chyby přísluší spojovacímu členu rozměrové vazby, kterou konstruktér řešil metodou maxima-minima, tak bez porušení podmínky výsledné přesnosti spojení mohu připustit širší toleranci. Předpokládejme, že  $\delta$  může být 10. Pak jak plyně z výsledků v tab. V a VI bude pro  $z_f = 0,1$  částečné realizace větší než 60 ks a v časových okamžicích  $k \cdot \Delta t$  mohu připustit i nezávislé seřizování. Na základě dříve řečeného lze velmi přibližně  $y_{f, \beta}$  po-

čítat ze vztahů :

$$\inf_{\gamma, \beta} Y_{\gamma, \beta} = S_{\gamma} - \nu_t \frac{\sigma_0}{\sqrt{n}}, \quad (5.1)$$

$$\sup_{\gamma, \beta} Y_{\gamma, \beta} = S_{\gamma} + \nu_t \frac{\sigma_0}{\sqrt{n}}, \quad (5.2)$$

kde  $S_{\gamma}$  je střed intervalu  $\gamma$  a  $\nu_t$  je kladný kořen rovnice

$$\Phi\left(\nu + \frac{z_r \delta}{\sigma_0} \sqrt{n}\right) - \Phi\left(\nu - \frac{z_r \delta}{\sigma_0} \sqrt{n}\right) = \beta \quad (5.3)$$

s možností nepatrné korekce směrem k  $\sup_{\gamma, \beta} Y_{\gamma, \beta}$ . Pochopitelně pro výběr plánu analýzy je třeba počítat s

$$\bar{n} = \bar{n} / \Delta t \quad (5.4)$$

(viz kap. 3.4). Dále se provede ještě redukce částečných realizací tak, aby  $1/\Delta t$  bylo přirozené číslo.

Je možné také namítnout, že se uvažuje pouze lineární trend, ale jak postupovat v případech, kdy po vyrovnání lineárním trendem je výsledek testu opět .FALSE.. I při lineárním trendu byla použita polynomická regrese se stupněm polynomu 1. Je tedy možné zvyšovat stupeň polynomu tak dlouho, až výsledek testu náhodnosti bude .TRUE.. Jekmíle však stupeň polynomu bude větší než 1, nelze integrální funkci výsledného rozdělení vyjádřit ve tvaru obdobném (3.25) a je nutné počítat s  $F(x)$  ve tvaru :

$$\begin{aligned} F(x) &= \int_{-\infty}^x \int_0^1 \frac{1}{\sqrt{2\pi}\sigma_0} e^{-\frac{[w-j\mu(t)]^2}{2\sigma_0^2}} dt dw = \\ &= \int_0^1 \Phi\left[\frac{x-j\mu(t)}{\sigma_0}\right] dt. \end{aligned} \quad (5.5)$$

To znamená, že tato integrální funkce bude výsledkem numerického integrování, integrand je funkce Gaussova-Laplaceova a navíc jako celek vystupuje v transcendentní rovnici. Nelze říci, že tuto úlohu nelze řešit na použitém počítači 2. generace MINSK 22. Je to pouze otázka "nadbytku" strojního času. Nicméně však z uvedeného důvodu tento případ nepočítám číselně. Pro počítač 3. generace, který má být instalován na VŠST, to bude rychlé záležitost. Snad tedy stačí na minimu demonstrativních příkladů zdůraznit nutnost i důležitost sledování problematiky analýzy seřízení pro zvyšování jakosti strojírenské výroby.

## 6. ZÁVĚR

Předkládaná práce v principu patří k řízení jakosti a teorii spolehlivosti technologických procesů. Zabývá se statistickou analýzou seřízení daného výrobního zařízení při výrobě ve velkých dévkách. Konkrétně je tím myšleno obrábění velkých dévek součástí na obráběcích automatech, nebo i neautomatických strojích se zarážkami, kdy úroveň seřízení je v každém časovém okamžiku determinována počátečním seřízením a popřípadě je v předem vypočtených časových okamžicích korigována.

V práci zavádí tzv. zásobu přesnosti, využitelnou pro nepřesnosti v seřizování. Za předpokladu, že byla provedena předcházející analýza náhodného procesu tvorby výrobních chyb, je v práci uvedena statistická analýza úrovně počátečního seřízení i regulování nestacionérního nekorelovaného procesu. Vzhledem ke složitosti odvozených matematických vztahů uvádí numerická řešení včetně podprogramů pro číslicový počítač, zpracovaných v jazyku FORTRAN IV. Praktickou využitelnost teoretických úvah pak dokládají na příkladech.

V souvislosti s řešením uvedené problematiky jsem dospěl k názoru, že její další řešení by se mělo zaměřit především na tyto tematické okruhy :

1. v práci jsem poukázal na analogii se statistickou přejímkou. Naše norma ČSN (stávající i nově nevrhovaná) pro statistickou přejímkou je v podstatě stručný výtah učebnice statistické přejímky. V NDR existuje v tomto směru obsáhlý sborník operativních charakteristik, vhodný pro praktické používání. Představuji si tuto problematiku tak, že i pro případ statis-

tické analyzy seřízení by mohly být pro dané vstupní parametry tablovány vhodné plány analyzy, přičemž číslicovému počítači by se přenechalo řešení pouze speciálních případů. Tento problém není nijak komplikovaný, zato však pracný. Podle mého názoru je to převážně otázka strojního času číslicového počítače.

2. volená statistika pro rozhodnutí o správnosti seřízení je aritmetický průměr. Můžeme však volit i medián, nebo stanovit takové meze, uvnitř kterých se při správném seřízení musí pohybovat všechny výběry. V tom případě bychom ani nemuseli mít škálové měřidlo. Ovšem aritmetický průměr je nejlepším odhadem střední hodnoty. Chceme-li se stejnou jistotou rozhodnout o správnosti seřízení, je logické očekávat, že musíme např. při určování mediánu zvyšovat rozsah náhodného výběru. Podle mého názoru by však stálo za to prozkoumat, zda a v kterých případech jsou vhodnější jiné odhady.

3. v práci se zabývám procesy velmi blízkými tzv. bílému šumu. Tato hypotéza, vhodné pro obrábění, tvořila základ prací tvůrce první ucelené teorie přesnosti obrábění N.A. Boroděčeva, ale i prof. Sokolovského, byla mnohokrát prakticky ověřena jejich pokračovateli. Posunout práci na obecnější úroveň znamená sledovat i náhodné procesy jiného druhu. Např. po délce se měnící tloušťka nitě sledovaná jako náhodný proces má s uvedenými procesy jen velmi málo společného a to bylo také mnohokrát prakticky dokázáno. Z toho důvodu bych považoval ze účelné, najít v procesech obrábění odchylky od sledované hypotézy, jejichž řešením a zobecněním lze dosáhnout vytčeného cíle.

4. je zcela nepochybně, že konečným cílem obrábění zůstane získání obrobků s požadovanými jakostními znaky. Zatímco se

se dnes obséhle a převážně laboratorně zkoumá např. závislost technologických proměnných (řezná síla, teplota řezání atd.) na řezných podmírkách, tak problematika dosažení např. požadované rozměrové přesnosti je zcela neprávem opomíjena. Jeden takový příklad uvédim v předešlé kapitole. Tím pochopitelně nechci říci, že v současné době do jisté míry jednostranně zaměřený výzkum v obrábění je nevýznamný, jenom si myslím, že přinejmenším současně existují jiné neprávem opomíjené problémy. Znovu se v této souvislosti odvolávám na úvodní kapitolu.

5. v současné době nejsou žádnou utopií obráběcí stroje s možností automatické regulace úrovně seřízení (např. u kopirovacích soustruhů podle návrhu Ju.M.Solomenceva) i automatické rozměrové kontroly obrácených součástí během samotného procesu. Domnívám se, že i v tomto směru existují velké možnosti pro aktivní spolupráci technologů a konstruktérů obráběcích strojů.

V další práci bych se chtěl zaměřit na zkoumání spolehlivosti technologického procesu obrábění, tedy problematiky, která těsně souvisí s předkládanou prací. V prvním přiblížení jde tedy o určování pravděpodobnosti bezporuchového chodu technologického procesu. Přitom poruchou je rozuměna i náhlá změna podmínek např. ve smyslu porušení žádoucí úrovně seřízení v důsledku vylomení řezného nástroje apod. Z toho pak také plynou zpětné požadavky např. na časové intervaly kontroly chodu technologického procesu. Zatímco problematiku uvedenou pod body 1-5 lze postupně dopracovávat např. i v rámci diplomových prací, je problematika spolehlivosti technologických procesů zatím nedostatečně teoreticky rozpracována, a proto se její řešení jeví jako nutné.

Zamýšlím rovněž zveřejnit sborník fortranských podprogramů pro řešení úloh z teorie pravděpodobnosti a matematické statistiky. To jistě usnadní a hlavně zkrátí popis problémů ve sledované oblasti.

V Liberci dne 20.1.1978



Ing. Vladimír Věchet, CSc.

Literatura

- /1/ Adams,A.G. : Remark on Algorithm 304-Normal Curve Integral.CACM,10(1967),Nr.6,374-5.
- /2/ Ageev,M.I.-Alik,V.P.-Markov,Ju.I.:Biblioteka algoritmov. 51b-100b.Sovetskoje radio,Moskva 1976.
- /3/ Borodačev,N.A. : Osnovnyje voprosy teoriji točnosti proizvodstva.Izdatelstvo AN SSSR,Moskva 1976.
- /4/ Cramer,H. : Mathematical Methods of Statistics.Princeton University Press,Princeton 1946.
- /5/ Dunin-Barkovskij,I.V.-Smirnov,N.V. : Těorije věrojatností i matematičeskaja statistika v technike.(Obščaja čast). Gosudarstvennoje izdatelstvo techniko-teoretičeskoj literatury,Moskva 1955.
- /6/ Egermayer,F. : Řízení jakosti-vybrané statě.Vydavatelství ČVUT,Praha 1972.
- /7/ Egermayer,F.-Mrština,J. : Zahraniční zkušenosti v řízení jakosti.Vydavatelství ÚNM,Praha 1969.
- \*
- /8/ Fabian,V. : Základní statistické metody.NČAV,Praha 1969.
- /9/ Golovinskij,V.V. : Statističeskiye metody regulirovaniija i kontrolja kačestva.Mašinostrojenije,Moskva 1974.

- /10/ Gérler,E. : Rationelle Verfahren bei der statistischen Qualitätsanalyse in der mechanischen Fertigung.Fertigungsstechnik und Betrieb,26(1976),No.3,142-5.
- /11/ Hähle,G.-Weber,H.H. : Praxis der technologischen Prüfungsvorbereitung.Fertigungsstechnik und Betrieb,20(1970), No.6,332-5.
- /12/ Hastings,C. : Approximations for Digital Computer.Jr. Princeton University Press,1955.
- /13/ Hill,I.D.-Joyce,S.A. : Algorithm 304-Normal Curve Integral.CACM,10(1967),Nr.6,374-5.
- /14/ Holmgren,B. : Remark on Algorithm 304-Normal Curve Integral.CACM,12(1969),Nr.10,565-6.
- /15/ Ignátev,V.V. : K voprosu ob optimálnom urovne nastrojki technologičeskich processov.Trudy Leningradskovo instituta aviac. priborostr.,1971,vyp.70,205-210.
- /16/ Jaroš,F. : Příklady využití matematické statistiky ve strojírenství.Vydavatelství ČNM,Praha 1969.
- /17/ Jekimov,E.G. : Saratovský systém.LN,Praha 1977.
- /18/ Pistorius,G. : Laufende Überwachung von Werkzeugmaschinen im Betrieb.Wt.-Z.ind.Fertigung,62(1972),No.4,210-12.

- /19/ Šakelis,V.V. : Modelirovaniye technologicheskikh processov. Mašinostrojenije, Moskva 1973.
- /20/ Věchet,V. : Pravděpodobnostní metoda řešení rozměrové přesnosti spojení strojních součástí. Disertační práce, Liberec 1972.
- /21/ Wolf,R. : Verfahren zur Ermittlung der Bearbeitungsgenauigkeit von spanenden Werkzeugmaschinen. Fertigungstechnik und Betrieb, 20(1970), No.3, 151-4.

PAUSE 7

ITEM NR 1.:

M1: .16247312E 00  
M2: .82557730E -04  
M3: .28775743E -03  
M4: .16513833E -03

SORT WITH H: .8000000E -01

CENTRE:

LARGE NUMBER

.00000000E 00  
.38000000E -01  
.76000000E -01  
.11400000E 00  
.15200000E 00  
.19000000E 00  
.22800000E 00  
.26600001E 00  
.30400001E 00  
.34200001E 00  
.38000001E 00

---

# Příloha I/I

NUMBERS:

5 XXX  
10 XXXXXXXXXX  
8 XXXXXXAXX  
17 XXXXXXXXAXXXXXXX  
16 XXXXXXXXAXXXXXXX  
15 XXXXXXXXAXXXXXXX  
5 XXXXX  
6 XXXXXXA  
8 XXXXXXAXX  
4 XXXX  
1 X



PAUSE ?

ITEM NR 2.: M1: -.80483870E-01  
===== M2: .43103330E-02  
M3: -.10331168E-03  
M4: .71245154E-04

SORT WITH H: .45000000E-01

CENTRE:

LARGE NUMBERS:

-.28000000E 00	2
-.23500000E 00	4
-.19000000E 00	6
-.14500000E 00	12
-.10000000E 00	39
-.55000000E-01	33
-.99999999E-02	20
.35000000E-01	5
.80000000E-01	3

SE NUMBERS:

2 XX  
4 XXXX  
6 XXXXXX  
12 XXXXXXXXXX  
39 XXXXXXXXXXXXXXX  
33 XXXXXXXXXXXXXXX  
20 XXXXXXXXXXXXXXX  
5 XXXXX  
3 XXX

---

PRAUSE 7

ITEM NR 3.: M1: -.22150000E-01  
===== M2: .02235897E-03  
M3: -.14994763E-05  
M4: .12947458E-05

SORT WITH n: .15000000E-01

CENTRE:	LARGE NUMBERS:	
-.85000000E-01	5	X
-.72000000E-01	1	X
-.59000000E-01	7	X
-.46000000E-01	14	X
-.33000000E-01	11	X
-.20000000E-01	31	X
-.70000003E-02	13	X
.59999997E-02	14	X
.19000000E-01	3	X
.32000000E-01	1	X
.45000000E-01	2	X

## NUMBERS:

5 XXX  
1 X  
7 XXXXXXA  
14 XXXXXXXX<sup>.....</sup>  
11 XXXXX<sup>.....</sup>  
31 XXXXXXXX<sup>.....</sup>  
13 XXXXXXXX<sup>.....</sup>  
14 XXXXXXXX<sup>.....</sup>  
3 XXX  
1 X  
2 XX



PAUSE ?

ITEM NR 4.: M1: -.17951165E-01  
===== M2: .51099845E-03  
M3: -.19355507E-04  
M4: .13652095E-05

SORT WITH H: .10000000E-01

CENTRE:

LARGE NUMBERS:

-.90000000E-01	1
-.80000000E-01	4
-.70000000E-01	2
-.60000000E-01	5
-.50000000E-01	1
-.40000000E-01	2
-.30000000E-01	10
-.193999959E-01	18
.99999994E-02	40
.58207661E-09	17
.10000001E-01	3

GE NUMBERS:

1 X  
4 XXXX  
2 XX  
5 XXXXX  
1 X  
2 XX  
10 XXXXXXXXXX  
18 XXXXXXXXXXXXXXXXXX  
40 XXXXXXXXXXXXXXXXXXXXXXXXXX  
17 XXXXXXXXXXXXXXXXXX  
3 XXX



PAUSE

AT1,...: 1.0000 -1.0000 -1.0000 -1.0000  
SUMMARY: M1: .28306816E 00  
M2: .13689456E -01  
M3: .41192410E -03  
M4: .53981309E -03

BIG DELTA: 0,250  
LITTLE DELTA: 0,250

PROBABILITY UNDER: 0.00215  
UP : 0.03815

\*\*\*\*\*  
STOP 0

\*\*\*\*\*  
MONPAUSE: 00.00 00  
-GO-

PAUSE: 00.00 00

TRAJECT: C.  
POSET -THEOREM

OUTR: 00.00 00

\*\*\*\*\*

\*\*\*\*\*

ELAPSED TIME BY MM : .00

ELAPSED TIME BY MONITOR : .00

PAUSE 7

CHI-KVADRAT TEST NORMALITY

=====

VSTUPNI SUUBOR:

ITEM NR. 11

.17000E 00	.29000E 00	.90000E-01	.36000E 00	.20000E 00
.14000E 00	.50000E-01	.33000E 00	.14000E 00	.25000E 00
.14000E 00	.17000E 00	.12000E 00	.00000E 00	.20000E 00
.32000E 00	.30000E 00	.24000E 00	.72000E 00	.12000E 00
.20000E 00	.13000E 00	.12000E 00	.19000E 00	.15000E 00
.28000E 00	.28000E 00	.70000E-01	.30000E 00	.18000E 00
.40000E-01	.80000E-01	.33000E 00	.21000E 00	.18000E 00
.17000E 00	.18000E 00	.20000E 00	.16000E 00	.29000E 00
.27000E 00	.30000E 00	.19000E 00	.29000E 00	.10000E 00
.10000E 00	.17000E 00	.23000E 00	.27000E 00	.90000E-01
.10000E-01	.50000E-01	.70000E-01	.25000E 00	.20000E 00
.19000E 00	.10000E-01	.40000E-01	.40000E-01	.60000E-01
.12000E 00	.21000E 00	.1T000E 00	.19000E 00	.15000E 00
.50000E-01	.38000E 00	.51000E 00	.10000E 00	.15000E 00
.10000E 00	.10000E 00	.15000E 00	.12000E 00	.10000E 00
.18000E 00	.20000E-01	.19000E 00	.14000E 00	.30000E-01
.15000E 00	.70000E-01	.16000E 00	.35000E 00	.40000E-01
.22000E 00	.60000E-01	.50000E-01	.14000E 00	.13000E 00
.17000E 00	.1T000E 00	.17000E 00	- - -	- - -

POCET PRYKU SUUBORU: 93

PROTOKOL O CHI-KVADRAT TESTU NORMALITY

=====

HODNOTY VYLOUČENÝCH PRYKU:

POCET VYLOUČENÝCH PRYKU: 0

TRIDENI C.I.

POCET TRID: 11

C.I.R	HRANICE TR	GETNOST	SIFRED	TRIDY	NOVA PROM	NOVE	HRANICE
1	.19000E-01	3	.000000E 00	-5.	-.158209E 01		
2	.57000E-01	10	.980000E-01	-4.	-.116350E 01		
3	.95000E-01	8	.660000E-01	-3.	-.744908E 00		
4	.15300E 00	17	.14000E 00	-2,	-.326318E 00		
5	.17100E 00	16	.152000E 00	-1.	.922898E-01		
6	.20900E 00	15	.190000E 00	0.	.510858E 00		
7	.24700E 00	5	.228000E 00	1.	.929447E 00		
8	.28500E 00	6	.266000E 00	2.	.134804E 01		
9	.32300E 00	8	.304000E 00	3.	.176862E 01		
10	.36100E 00	4	.342000E 00	4.	.218521E 01		
1	.39900E 00	1	.380000E 00	5.	.260380E 01		

CHI KVADRAT KRITERIUM= 15,275

VYSLEDEK TESTU: T

E 00  
E -01  
E 00  
E -01  
E 00  
E 00  
E 00  
E 00  
E -01  
E -01  
E 00

E	MRANICE	PRIBLIZ	PROB	SCITANCE
58209E-01		0.05681	.987114E 00	
16350E 01		0.06550	.250798E 01	
44908E 00		0.10585	.345434E 00	
26319E 00		0.14393	.976174E 00	
22896E-01		0.16467	.307302E-01	
10858E 00		0.15852	.451239E-02	
29447E 00		0.12840	.403450E 01	
34804E 01		0.08751	.561698E 00	
75662E 01		0.05018	.238123E 01	
18521E 01		0.02421	.135809E 01	
60380E 01		0.01444	.874288E-01	

C,TR	HRANICE TR	CETNOST	SIRED TRIDY	NOVA PROM	NOVE HRANICE
1	.297500E-01	4	.000000E 00	-4.	-.152514E 01
2	.712500E-01	14	.475000E-01	-3.	-.100529E 01
3	.118750E 00	11	.950000E-01	-2.	-.484445E 00
4	.166250E 00	21	.142500E 00	-1.	.564034E-01
5	.213750E 00	21	.190000E 00	0.	.557252E 00
6	.261250E 00	5	.237500E 00	1.	.107810E 01
7	.308750E 00	10	.285000E 00	2.	.159895E 01
8	.356250E 00	5	.325000E 00	3.	.211980E 01
9	.403750E 00	2	.380000E 00	4.	.264065E 01

CHI KVADRAT KRITERIUM= 12.208

VYSLEDEK TESTU: F

TRIDENI C.S.

PUSET TRIDU: 10

C,TR	HRANICE TR	CETNOST	SIRED TRIDY	NOVA PROM	NOVE HRANICE
1	.211111E-01	4	.000000E 00	-5.	-.153242E 01
2	.533333E-01	11	.422222E-01	-4.	-.107927E 01
3	.105556E 00	12	.844444E-01	-3.	-.626129E 00
4	.147778E 00	16	.126667E 00	-2.	-.172976E 00
5	.190000E 00	15	.168889E 00	-1.	.280172E 00
6	.232222E 00	15	.211111E 00	0.	.733319E 00
7	.274444E 00	5	.253333E 00	1.	.118647E 00
8	.316667E 00	9	.295556E 00	2.	.163961E 00
9	.358889E 00	4	.337778E 00	3.	.209276E 00
10	.401111E 00	2	.380000E 00	4.	.254591E 00

CHI KVADRAT KRITERIUM= 7.322

VYSLEDEK TESTU: T

KONECNY VYSLEDEK TESTU: T

KONECNY VYSLEDEK TESTU: T

\*\*\*\*\*

#### VYSLEDKY PODPORUJICICH CHIES

1. HLADINA VYZNAMNOSTI TESTU: 0.10

2. ARITMETICKY PRUMER : .1998949E 00

SMERODATNATODUCHYLK: .931705185E-01

3. DOPORUCENI PRO POUZITI TESTU CHI-KVADRAT: T

VYSLEDEK CHI-KVADRAT TESTU: T

\*\*\*\*\*

OVE	MRAVNICE	PRIBLIZ	PROB	SCITANCE
.152014E	01	0.06349	.614194E	00
.100529E	01	0.09389	.317844E	01
.404445E	00	0.15666	.874353E	00
.564034E	-01	0.20048	.297435E	00
.557252E	00	0.19680	.397518E	00
.107810E	01	0.14818	.559512E	01
.159895E	01	0.08558	.523505E	00
.211980E	01	0.03790	.617102E	00
.264065E	01	0.01701	.110393E	00

OVE	HRAENICE	PRIBLIZ	PROB	SCITANCE
.153242E 01		0.06271	.575485E 00	
.107927E 01		0.07752	.199260E 01	
.626129E 00		0.12538	.987479E-02	
.172976E 00		0.16572	.224499E-01	
.280172E 00		0.17899	.162804E 00	
.733319E 00		0.15799	.640885E-02	
.118647E 01		0.11396	.295737E 01	
.163951E 01		0.06718	.141280E 01	
.209276E 01		0.03236	.326199E 00	
.254591E 01		0.01819	.563678E-01	

PAUSE 7

CHI-KVADRAT TEST NORMALITY

VSTUPNI SOUBOR:

ITEM NR. 4:

.00000E 00 -.20000E-01 -.50000E-02 -.50000E-02 -.15000E-01  
-.10000E-01 -.50000E-02 .00000E 00 -.70000E-01 -.10000E-01  
-.50000E-02 -.20000E-01 -.50000E-02 -.10000E-01 .50000E-02  
-.30000E-01 -.50000E-02 -.90000E-01 -.50000E-02 -.60000E-01  
-.85000E-01 -.10000E-01 .00000E 00 -.80000E-01 .00000E 00  
.00000E 00 -.10000E-01 -.70000E-01 -.30000E-01 -.50000E-02  
-.10000E-01 -.10000E-01 -.50000E-02 -.15000E-01 -.10000E-01  
-.20000E-01 .00000E 00 -.10000E-01 -.50000E-02 -.10000E-01  
-.10000E-01 .50000E-02 -.25000E-01 -.20000E-01 -.30000E-01  
.50000E-02 -.20000E-01 .00000E 00 -.50000E-01 -.50000E-02  
-.20000E-01 -.50000E-02 -.55000E-01 -.70000E-01 -.50000E-02  
-.35000E-01 -.85000E-01 -.25000E-01 .50000E-02 -.20000E-01  
-.30000E-01 .00000E 00 -.10000E-01 -.10000E-01 -.10000E-01  
-.50000E-02 .00000E 00 .10000E-01 -.10000E-01 -.20000E-01  
-.30000E-01 -.10000E-01 -.25000E-01 .10000E-01 -.25000E-01  
-.60000E-01 -.15000E-01 .00000E 00 -.10000E-01 -.10000E-01  
-.20000E-01 -.10000E-01 -.20000E-01 -.10000E-01 -.25000E-01  
-.50000E-02 -.35000E-01 -.50000E-02 -.20000E-01 .00000E 00  
-.30000E-02 -.60000E-01 -.40000E-01 -.55000E-01 -.20000E-01  
-.15000E-01 .10000E-01 .00000E 00 .50000E-02 -.50000E-02  
-.20000E-01 -.10000E-01 -.20000E-01

POCET PRVKU SOUBORU: 103

PROTOKOL O CHI-KVADRAT TESTU NORMALITY

HODNOTY VYLUOCENYCH PRVKU:

-0.0900  
-0.0850  
-0.0850  
-0.0850  
-0.0800  
-0.0700  
-0.0700  
-0.0600  
-0.0600  
-0.0600  
-0.0550  
-0.0550  
-0.0500

POCET VYLOUOCENYCH PRVKU = 13

OCEK.CEINOSTI MALE, TESTU NELZE POUZIT

VYSLEDKY POUZITI PRAMU CHITES

1. Hladina vyznamnosti testu: 0.10

2. ARITMETICKY PRUMER : -.10<sup>4</sup>6296E-01  
SMERODATNA PODSUNYTKA: .109248393E-01

3. DOPORUCENI PRO POUZITI TESTU CHI-KVADRAT: F

STOP 0

MON#PDAUSE; 00.00.00

-GO-

ELAPSED TIME BY PHP : .00

ELAPSED TIME BY MONITOR : .00

PAUSE

\*\*\*\*\*  
OVEDOMIÑ NAKLONOSTI POUZE POCET ITERACI  
\*\*\*\*\*

POCET PRVKA Souboru: 48

MEDIAN KOSLOUPNOSTI: 40.500000

POCET PRVKA 1. GRUPOU: 24

POCET PRVKA 2. GRUPOU: 24

POCET ITERACI: 38

CITLIVOST TESTU:

YZESTUPNA I SESTUPNA TENDENCE, OBLUHN PERTIODICITA, NAHLE ZMENA PODMINE

ZADANÉ HLADINY VYZNAMNOSTI: 0.10000

PRVODROBNUST, ZE POCET ITERACI BODE MENSI NEBO ROVEN VYROSTELEMU P

VYROTEZU NAKLONOSTI PREJIMAME NA ZADANE HLADINE VYZNAMNOSTI

STOP

\*\*\*\*\*  
MONITOROSE: 00.00.00  
-60-

# Příloha III

END POCMINER

POCTENEMU POČTU ČITERACI: 0.99722

\*\*\*\*\*  
\*\*\*\*\*

ELAPSED TIME BY PHPI : .00

ELAPSED TIME BY MONITOR : .00